



TABUĽKY STATICKÝCH HODNÔT A ÚNOSNOSTI HLINÍKOVÝCH PROFILOV



TRAPÉZOVÉ PLECHY ALT-50

Objednávateľ : Ľuboslav DÉRER,
riaditeľ spoločnosti

Vypracoval : prof. Ing. Ján Hudák, CSc.
Ing. Tatiana Hudáková .

Košice, 2014

STATICKÝ VÝPOČET ÚNOSNOSTI HLINÍKOVÝCH TRAPÉZOVÝCH PLECHOV V ZMYSLE EC 9, ČASŤ 1-4.

ALT-50 A, ALT-50 B

OBSAH

1. PODMIENKY VÝPOČTU STATICKÝCH HODNÔT DIMENZAČNÝCH TABULIEK	5
1.1 Úvod	5
1.2 Označenie profilov	5
1.3 Medzný stav únosnosti	5
1.4 Medzný stav používateľnosti	7
2. MATERIÁL	9
3. PRIEREZOVÉ CHARAKTERISTIKY TRAPÉZOVÝCH PLECHOV	10
3.1 Prierezy	11
3.2 Geometrické proporcie	11
3.3 Konštrukčné modelovanie pre výpočet	11
3.4 Zakrivenie pásnice	12
3.5 Lokálne vydúvanie steny	12
3.5.1 Častí priečneho rezu bez výstuh	13
3.5.2 Častí priečneho rezu s výstuhami	15
3.5.3 Lichobežníkové profily medziľahlých výstuh	19
3.5.4 Steny s vnútornými výstuhami pod účinkom tlaku	21
3.5.5 Plechy s výstuhami pásu a výstuhami steny	24
4. RIEŠENIE ÚNOSNOSTI PRIEREZU ALT-50	25
4.1 TRAPÉZ ALT-50 A	25
4.2 TRAPÉZ ALT-55 B.....	34
5. MEDZNÉ ZAŤAŽENIA TRAPÉZOVÝCH PLECHOV	43
5.1 TRAPÉZ ALT-50 A	43
5.2 TRAPÉZ ALT-50 B	46
NORMY, LITERATÚRA	49

TABUĽKY STATICKÝCH HODNÔT

PREDSLOV

Predmetom analýzy bolo vypracovanie statických parametrov ohýbaných hliníkových plechov ALT-50 za účelom stanovenia skutočných a efektívnych prierezových charakteristík. Pre tieto charakteristiky boli určené medzné hodnoty rovnomenného zaťaženia prostých a spojítých nosníkov z hľadiska medzného stavu únosnosti a používateľnosti. Metodika výpočtu bola realizovaná v zmysle EC 9 „Navrhovanie hliníkových konštrukcií. Časť 1-4: Všeobecné pravidlá. Plošné profily tvarované za studena“.

Aby sa mohla určiť únosnosť navrhovaných profilov ALT-50 v rámci tohto zadania boli spracované programy v jazyku TURBO PASCAL:

- Prierezové charakteristiky plného prierezu
- Prierezové charakteristiky redukovaného prierezu v normálnej polohe
- Prierezové charakteristiky redukovaného prierezu v reverznej polohe
- Tabuľky únosnosti nosníkov z plechov v normálnej polohe
- Tabuľky únosnosti nosníkov z plechov v reverznej polohe.

Prostredníctvom uvedených programov bolo potrebné spracovať:

- Tabuľky prierezových charakteristik
- Tabuľky medzného zaťaženia trapézových plechov pre vybrané hrúbky. Pre plechy ALT-50 sú uvažované hrúbky 0,6; 0,7; 0,8; 0,9; a 1,0 mm.
- Uvažuje sa pevnostná trieda hliníka: 3105 H46.

U profilov ALT 50 sa uvažuje namáhanie ohybom a šmykom. Pri ohybe je priebeh napäti po výške prierezu lineárny v tvare trojuholníka. Jedná časť pod neutrálou osou bude ťahaná a druhá časť prierezu na opačnej strane bude tlačená. A v tejto tlačenej oblasti dochádza k vydúvaniu stienok ak je prekročená ich medzná štíhlosť. Pre navrhovaný prierez dochádza k vydúvaniu iba pásovej časti, kým u stienok pri hrúbkach väčších ako 0,7 mm u toho profilu k vydúvaniu nedochádza. Účinný prierez bol stanovený v zmysle EC 9.

V prípade namáhania priečnou silou uvažuje sa so vzpernou únosnosťou stienok v mieste uloženia. Predpokladá sa minimálna šírka uloženia na podperu 60 mm.

1. PODMIENKY VÝPOČTU STATICKÝCH HODNÔT DIMENZAČNÝCH TABULIEK

1.1 ÚVOD

Účelom výpočtu bolo vypracovanie tabuliek statických hodnôt prierezových charakteristík a dimenzačných tabuliek hodnôt medzných zaťažení trapézových plechov v zmysle metódy medzných stavov z hľadiska podmienok spoľahlivosti únosnosti a používateľnosti. Vo výpočte sa uvažovali prierezové charakteristiky efektívnych prierezov, u ktorých sa zohľadnilo vydúvanie tlačených stien. Pre tieto charakteristiky boli učené medzné hodnoty rovnomenného zaťaženia prostých a spojitéh nosníkov z hľadiska medzného stavu **únosnosti** a medzného stavu **používateľnosti**. Metodika výpočtu bola realizovaná v zmysle STN EN 1999-1-4 (Eurokód 9).

1.2 OZNAČENIE PROFILOV

Profily sú označované štandardne ALT-50A, ALT-50B. Poloha trapézových profilov sa môže vyskytnúť ako normálna a reverzná.

1.3 MEDZNÝ STAV ÚNOSNOSTI

Pre stanovenie navrhovej hodnoty zaťaženia q z hľadiska podmienky spoľahlivosti medzného stavu únosnosti sa vychádza z teoreticky stanovených ohybových a šmykových únosnosti efektívneho prierezu v charakteristických prierezoch prostého a spojitého nosníka. Vychádza sa z podmienky, že efektívny prierez je plne využitý t.j. že v horných a dolných vláknach je dosiahnutá hodnota medze klízu f_0/γ_{M1} . Predpokladá sa, že efektívny prierez sa po dĺžke nosníka nemení a je stanovený v mieste plného využitia napäťia. Zmena veľkosti spolupôsobiacej šírky tlačenej steny sa zanedbáva. O únosnosti profilu rozhoduje najviac namáhaný prierez nosníka.

Návrhové hodnoty únosností stanovené z podmienky pevnosti medzného stavu únosnosti sú v tabuľkách označované symbolom *.

a) Nosník o jednom poli

Pre nosník o jednom poli bude hodnota medzného zaťaženia stanovená z podmienky pevnosti

$$M_{Sd} \leq M_{Rd} \quad (1.1)$$

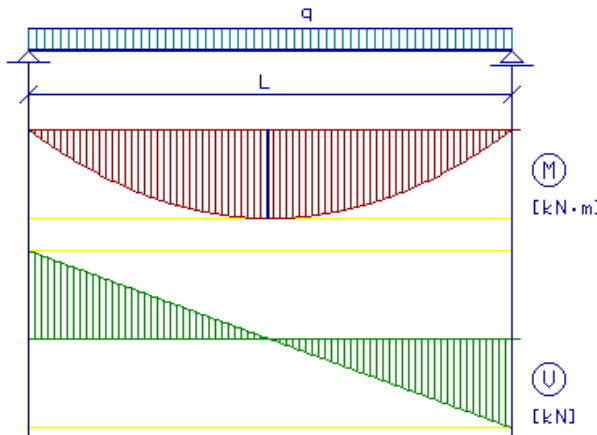
Hodnoty momentov účinku a únosnosti nosníka budú

$$M_{Sd} = 1/8 \cdot q \cdot L^2 \quad (1.2)$$

$$M_{Rd} = W_{y,eff,min} \cdot f_y / \gamma_{M1} \quad (1.3)$$

Hodnota medzného zaťaženia je potom stanovená zo vzťahu

$$q = 8 \cdot W_{y,eff,min} \cdot f_y / \gamma_{M1} \cdot 1/L^2 \quad (1.4)$$

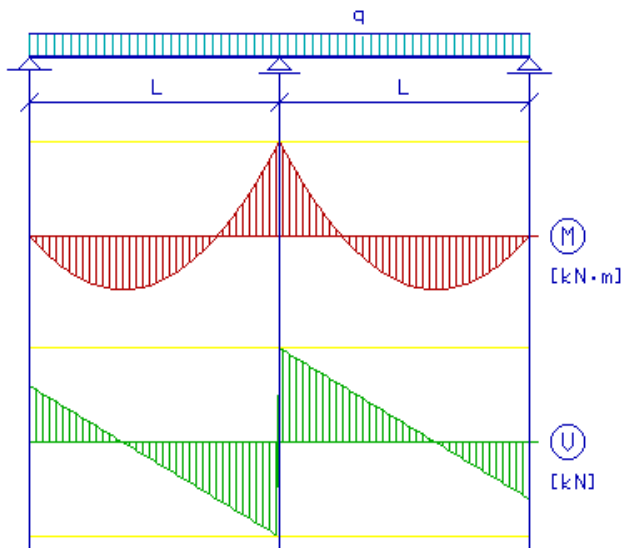


Obr. 1.1: Priebeh ohybových momentov M_{sd} a priečnych síl V_{sd} jednopoľového nosníka

b) Nosník o dvoch poliach

Podobne pre nosník o dvoch poliach bude hodnota medzného zaťaženia stanovená stanovené zo vzťahu

$$q = 8 \cdot W_{y,eff,min} \cdot f_y / \gamma_{M1} \cdot 1/L^2 \quad (1.5)$$

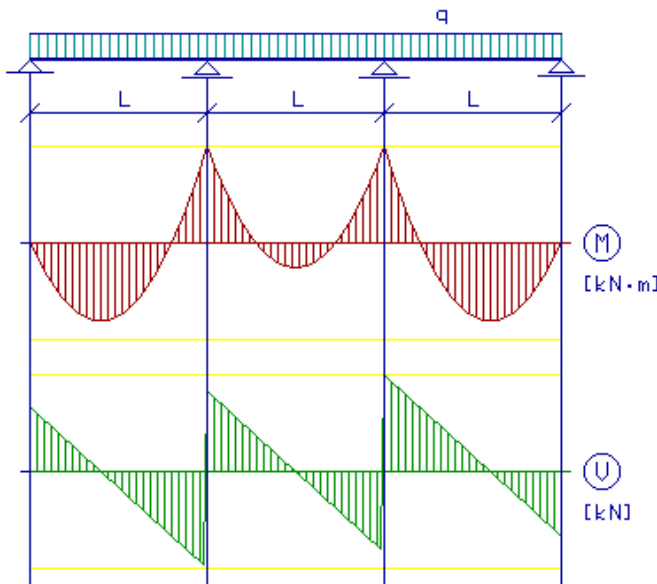


Obr. 1.2: Priebeh ohybových momentov M_{sd} a priečnych síl V_{sd} dvojpoľového nosníka

c) Nosník o troch poliach

Pre nosník o troch poliach bude hodnota medzného zaťaženia stanovená stanovené zo vzťahu

$$q = 10 \cdot W_{y,eff,min} \cdot f_y / \gamma_{M1} \cdot 1/L^2 \quad (1.6)$$



Obr. 1.3: Priebeh ohybových momentov M_{Sd} a priečnych síl V_{Sd} trojpoľového nosníka

1.4 MEDZNÝ STAV POUŽÍVATEĽNOSTI

Pre stanovenie navrhovej hodnoty zaťaženia q z hľadiska podmienky spoločahlivosti medzného stavu používateľnosti sa vychádzalo z predpokladu pružného pôsobenia profilu a z podmienky maximálneho prípustného priehybu. Predpokladá sa, že efektívny prierez po dosiahnutí medzného priehybu sa po dĺžke nemení. Výsledné medzne charakteristické zaťaženie sa určuje z hodnôt stanovených z obmedzenia vertikálnych priehybov L/200, L/250 a L/300.

a) Nosník o jednom poli

Pre nosník o jednom poli bude hodnota medzného zaťaženia stanovená z podmienky priehybu

$$\delta_{\max} \leq \delta_{\lim} \quad (1.7)$$

Hodnoty medzného a limitného priehybu nosníka budú

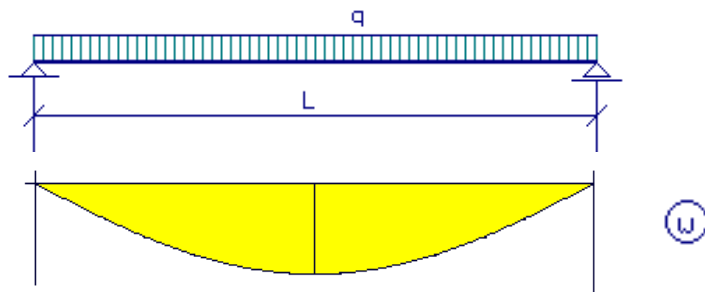
$$\delta_{\max} = \frac{5}{384} \cdot \frac{q/\gamma_F \cdot L^4}{E \cdot I_{y,eff}} \quad (1.8)$$

$$\delta_{\lim} = \frac{L}{200} \quad (1.9)$$

Hodnota medzného zaťaženia je potom stanovená zo vzťahu

$$q = 76,8 \cdot \delta_{\lim} \cdot \gamma_F \cdot E \cdot I_{y,eff} / L^4 \quad (1.10)$$

kde E je modul pružnosti hliníka. (Uvažuje sa z hodnotou 70000 MPa).

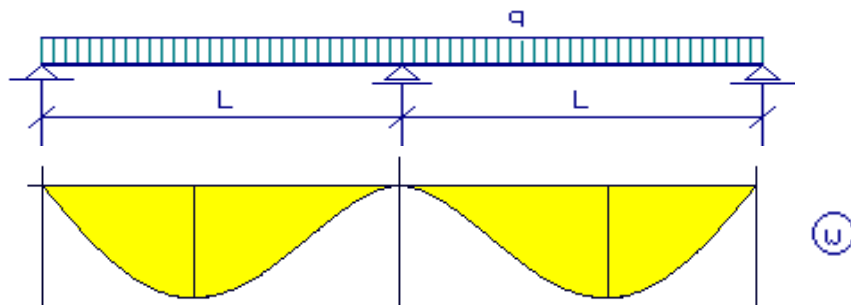


Obr. 1.4: Priehyb jednopoľového nosníka δ

b) Nosník o dvoch poliach

Podobne pre nosník o dvoch poliach bude hodnota medzného zaťaženia stanovená stanovené zo vzťahu

$$q = 185,185 \cdot \delta_{\lim} \cdot \gamma_F \cdot E \cdot I_{y,eff} / L^4 \quad (1.11)$$

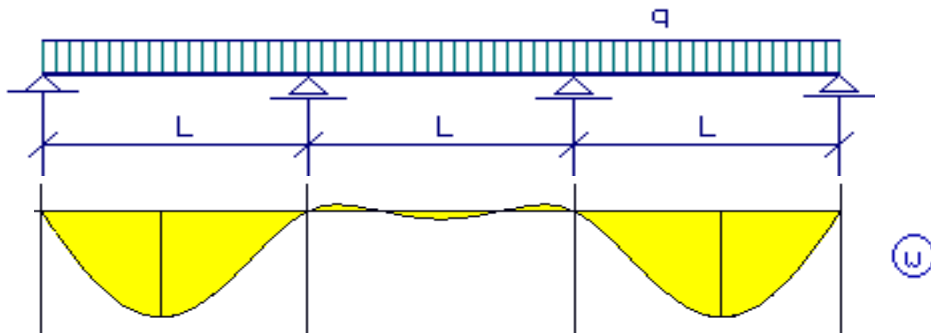


Obr. 1.5: Priehyb dvojpoľového nosníka δ

c) Nosník o troch poliach

Pre nosník o troch poliach bude hodnota medzného zaťaženia stanovená stanovené zo vzťahu

$$q = 147,059 \cdot \delta_{\lim} \cdot \gamma_F \cdot E \cdot I_{y,eff} / L^4 \quad (1.12)$$

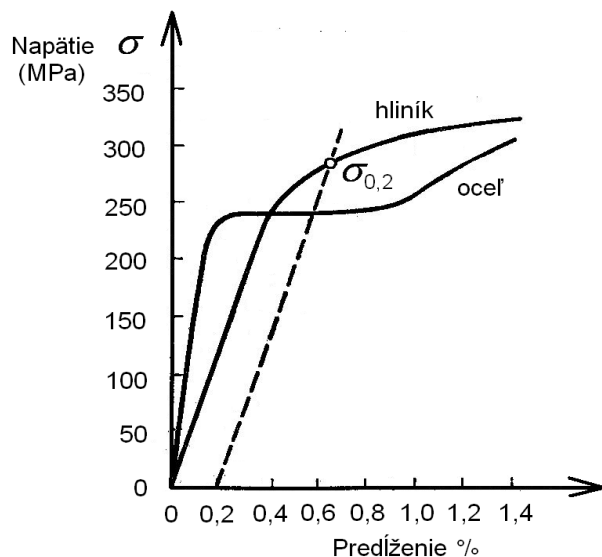


Obr. 1.6: Priehyb trojpoľového nosníka δ

2. MATERIÁL

Projektovanie hliníkových konštrukcií sa prevádzka podľa STN EN 1999-1-1, Eurokód 9: Navrhovanie hliníkových konštrukcií. Časť 1-1: Všeobecné pravidlá pre konštrukcie.

a) Hodnoty medze kízu f_0 a medznej pevnosti f_u hliníkových materiálov



Obr. 2.1: Pracovný diagram pri skúške na tāh konštrukčnej ocele a hliníkovej zliatiny

Materiál: AIMn0,5Mg0,5 EN AW 3105

Stav: H16/H26

Rp0,2 160 MPa

Označenie charakteristík materiálu:

f_0 - medza kízu hliníkových materiálov

f_u - medza pevnosti hliníkových materiálov

Návrhová hodnota f_0 / γ_M

Tabuľka 1: Hodnoty fyzikálnych veličín hliníkových materiálov

Modul pružnosti v tahu, tlaku	$E = 70\ 000$ MPa
Modul pružnosti v šmyku	$G = 27\ 700$ MPa
Súčiniteľ priečnej deformácie	$\nu = 0,3$
Súčiniteľ dĺžkovej tepelnej roztažnosti	$\alpha = 23 \times 10^{-6} \ 1/^\circ C$
Objemová hmotnosť	$\rho = 2700 \ kg/m^3$

b) Parciálny súčinieľ spoľahlivosti materiálu γ_M

Parciálny súčinieľ spoľahlivosti materiálu zohľadňuje :

- možnosť nepriaznivých odchýlok pevnosti materiálu od charakteristických hodnôt,
- možný nepresný odhad odolnosti prierezu alebo únosnosti časti konštrukcie (ak nie sú zahrnuté v súčiniteli podmienok pôsobenia γ_d),
- neistoty v geometrických parametroch ak nie sú zohľadnené iným spôsobom,
- neistoty vo vzťahu medzi vlastnosťami materiálu v konštrukcií a vlastnosťami nameranými pri skúškach normových vzoriek alebo počas kontroly.

Na základe štatistického rozboru skutočných hodnôt medze kízu výrobcov boli stanovené parciálne súčinitele spoľahlivosti materiálu, ktoré uvádza EC9.

Tabuľka 2: Parciálne súčinitele spoľahlivosti pre medzný stav únosnosti

Odolnosť prierezu pre všetky triedy:	γ_{M1}
Odolnosť prvkov pri určovaní nestability	
Odolnosť prvkov pri porušení v ťahu	γ_{M2}
Odolnosť spojov	časť EN 8

Odporučané hodnoty parciálnych súčinieľov:

$$\gamma_{M1} = 1,1,$$

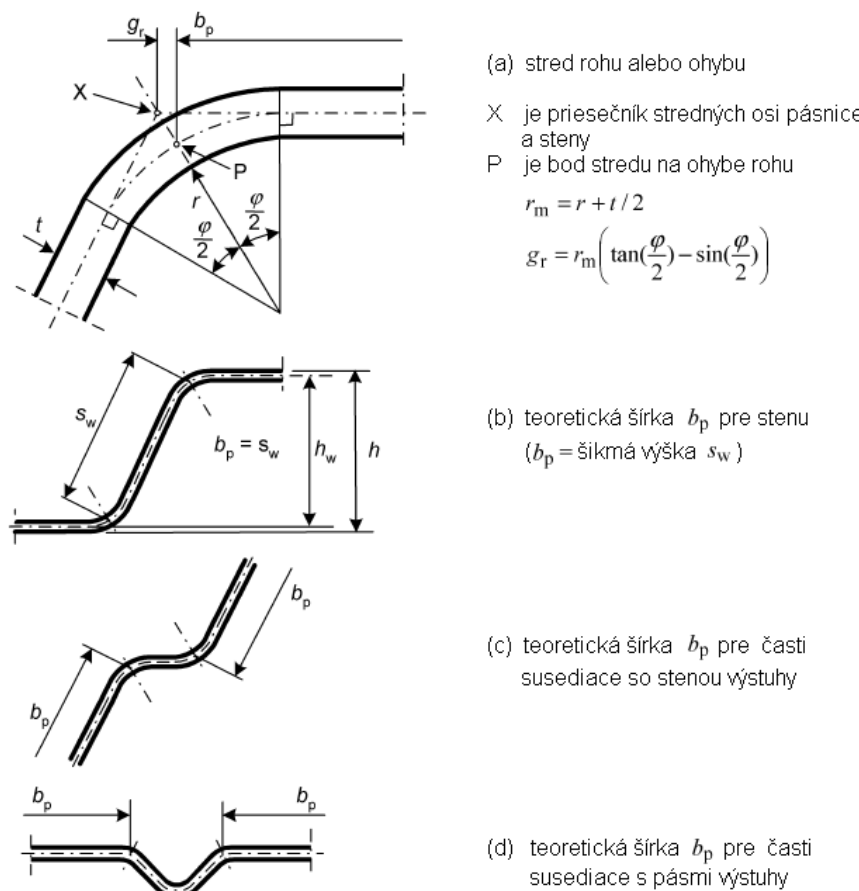
$$\gamma_{M2} = 1,25.$$

3. PRIEREZOVÉ CHARAKTERISTIKY

Tenkostenný prierez pozostáva z tenkých stien bez výstuh eventuálne s výstuhami. Pri výpočte únosnosti takého prierezu so štíhlymi stenami namáhaného tlakom eventuálne ohybom sa uvažuje s efektívnymi prierezovými charakteristikami, ktoré vychádzajú z efektívnej hrúbky tlačeného pásu alebo steny t_{eff} .

3.1 Prierezy

Menovitá šírka uvažovanej steny časti prierezu b_p sa stanovuje s ohľadom na zaoblený roh, kde sa spájajú pásnica a stena eventuálne pásnica či stena s výstuhou.



Obr. 3.1: Menovité šírky b_p uvažovanej časti prierezu

3.2 Geometrické proporcie

Podkladom pre návrh v danej EN 1999-1-4 nemožno aplikovať mimo oblasti väčšej v pomeroch šíky k hrúbke b/t a s_w/t .

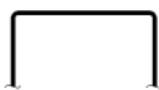
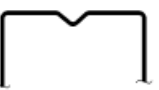
- pre tlačené pásnice $b/t \leq 300$
- pre steny $s_w/t \leq 0,5 \cdot E/f_0$

3.3 Konštrukčné modelovanie pre výpočet

Časť priečneho rezu v spojení steny a pásnice eventuálne steny či pásnice s výstuhou malo by sa uvažovať tak ako je uvedené v tabuľke 1.

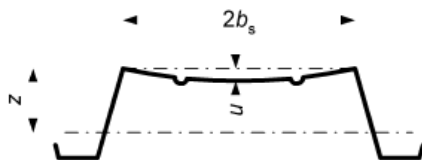
TABUĽKY STATICKÝCH HODNÔT

Tabuľka 1: Modelovanie časti priečneho rezu

Typ časti priečneho rezu	Model	Typ časti priečneho rezu	Model
			
			

3.4 Zakrivenie pásnice

Účinok zaťaženia pásnice môže vplývať na zakrivenie.



Obr. 3.2: Zakrivenie pásnice

Zakrivenie tlačenej pásnice je realizované vrátane pozdĺžnych vnútorných výstuh.

- Pre profil, ktorý je spôsobený zaťažením

$$u = \frac{2 \cdot \sigma_a^2 \cdot b_s^4}{E^2 \cdot t^2 \cdot z} \quad (3.1a)$$

- Pre počiatočné zakrivený profil

$$u = \frac{2 \cdot \sigma_a^2 \cdot b_s^4}{E \cdot t^2 \cdot r} \quad (3.1b)$$

kde: u je priehyb pásnice smerom k neutrálnej osi
 b_s je polovica vzdialosti medzi stenami
 z je vzdialenosť pásnice od neutrálnej osi
 r je polomer iniciálneho zakrivenia prfilu
 σ_a je stredná hodnota napäťia v pásnici.

3.5 Lokálne vydúvanie steny

Účinok lokálneho vydúvania má sa uvažovať pri určení únosnosti za súdená tvarovaného profilu. Účinky lokálneho vydúvania korešpondujú s aplikáciou efektívnych hrúbok. Pre stanovenie únosnosti s uvažovaním lokálneho vydúvania berie sa hodnota medze kízu materiálu hliníka f_0 .

3.5.1 Časti priečneho rezu bez výstuh

Efektívna hrúbka t_{eff} tlačenej časti prierezu sa určí zo vzťahu $t_{eff} = \rho \cdot t$
kde ρ je redukčný súčinatel' lokálneho vzperu.

Redukčný súčinatel' ρ k stanoveniu efektívnej hrúbky steny alebo pásnice t_{eff} je závislý na veľkosti tlakového napäťia $\sigma_{com.Ed}$ v relevantnej časti prierezu.

Ak $\sigma_{com.Ed} = f_0 / \gamma_{M1}$ môže byť redukčný súčinatel' učený nasledovné:

$$\text{- ak } \bar{\lambda}_p \leq \bar{\lambda}_{lim} : \quad \rho = 1,0 \quad (3.2a)$$

$$\text{- ak } \bar{\lambda}_p > \bar{\lambda}_{lim} : \quad \rho = \alpha \cdot \left(1 - 0,22 / \bar{\lambda}_p\right) / \bar{\lambda}_p \quad (3.2b)$$

Štíhlosť steny $\bar{\lambda}_p$ je stanovená podľa vzorca

$$\bar{\lambda}_p = \sqrt{\frac{f_0}{\sigma_{cr}}} \equiv \frac{b_p}{t} \cdot \sqrt{\frac{12 \cdot (1 - \nu^2) \cdot f_0}{\pi^2 \cdot E \cdot k_\sigma}} \cong 1,052 \cdot \frac{b_p}{t} \cdot \sqrt{\frac{f_0}{E \cdot k_\sigma}} \quad (3.3)$$

pričom k_σ je zodpovedajúci súčinatel' kritického napäťia. Parametre $\bar{\lambda}_{lim}$ a α sú zobrazené z tabuľky 1.

Tabuľka 2: Parametre $\bar{\lambda}_{lim}$ a α

$\bar{\lambda}_{lim}$	α
0,517	0,90

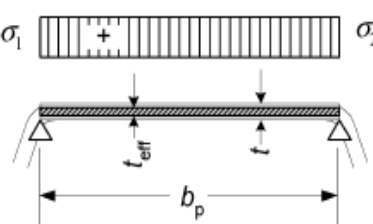
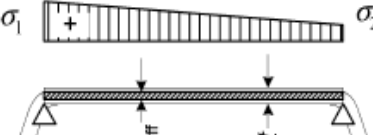
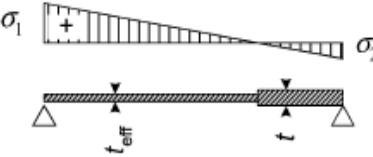
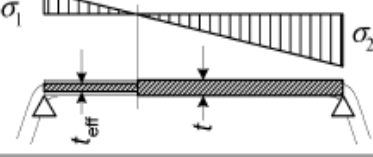
Ak $\sigma_{com.Ed} \leq f_0 / \gamma_{M1}$ môže byť redukčný súčinatel' učený nasledovné:

Vo výrazoch vyššie uvedených sa namiesto štíhlosťi steny $\bar{\lambda}_p$ použije redukovaná štíhlosť $\bar{\lambda}_p, red$. Tuto redukovanú štíhlosť určíme podľa vzorca:

$$\bar{\lambda}_p, red = \bar{\lambda}_p \cdot \sqrt{\frac{\sigma_{com.Ed}}{f_0 / \gamma_{M1}}} \quad (3.4)$$

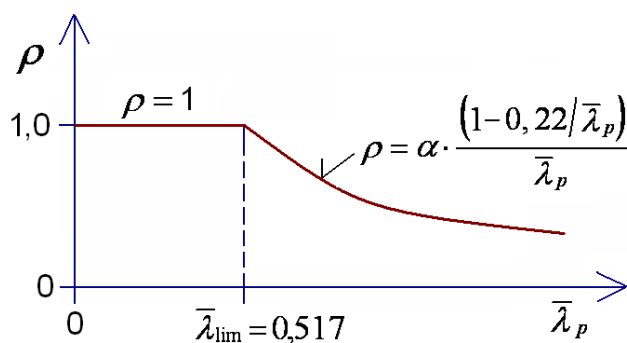
TABUĽKY STATICKÝCH HODNÔT

Tabuľka 3: Súčinieľ k_σ pre tlačenú časť prierezu

Časť tlačeného prierezu (+ = tlak)	$\psi = \sigma_2 / \sigma_1$	Faktor napäcia k_σ
σ_1  σ_2	$\psi = +1$	$k_\sigma = 4,0$
σ_1  σ_2	$+1 > \psi \geq 0$	$k_\sigma = \frac{8,2}{1,05 + \psi}$
σ_1  σ_2	$0 > \psi \geq -1$	$k_\sigma = 7,81 - 6,26\psi + 9,78\psi^2$
σ_1  σ_2	$-1 > \psi \geq -3$	$k_\sigma = 5,98(1 - \psi)^2$

Pre každý taký prierez je potrebné separátne určovať parametre steny:

- pomer krajných napätií ψ
- súčinieľ kritického napäcia k_σ
- štíhlosť steny $\bar{\lambda}_p$
- redukčný súčinieľ lokálneho vzperu ρ
- efektívna hrúbka stien a pásnic t_{eff}



Obr. 3.3: Priebeh redukčného súčiniteľa lokálneho vzperu ρ

TABUĽKY STATICKÝCH HODNÔT

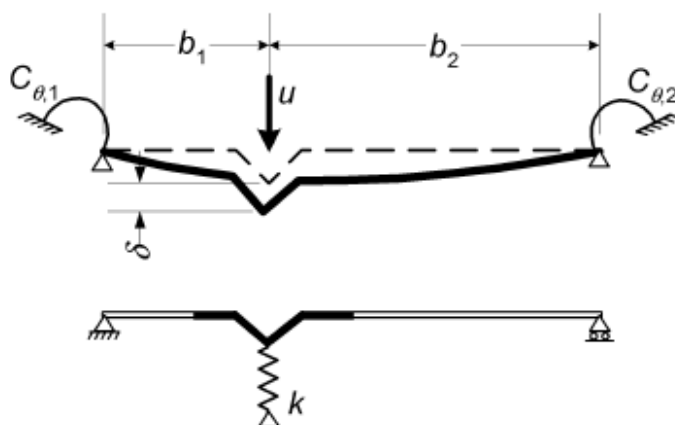
3.5.2 Časti priečneho rezu s vnútornými výstuhami

Návrh tlačenej časti prierezu s vnútornými výstuhami má byť založený na predpoklade, že výstuga sa chová ako tlačený prvak so súvislým čiastočným votknutím s pružným stužením ktoré závisí na okrajových podmienkach a ohybovom stužení susediacich časti prierezu.

Pružná tuhost' výstuhu mala by byť určená s aplikáciou jednotkového zaťaženia u ako je to ilustrované na obrázku 3.4. Pružná tuhost' k na jednotku dĺžky môže byť určená zo vzťahu

$$k = u/\delta \quad (3.5)$$

kde δ je priehyb priečnej dosky, ktorý spôsobuje jednotkové zaťaženie u pôsobiace v ťažisku (b_1) v účinnej časti výstuhu.



Obr. 3.4: Model pre určenie pružinovej tuhosti

V určení hodnôt rotačnej pružinovej tuhosti $C_{0,1}$ a $C_{0,2}$ z geometrie priečneho rezu malo by sa uvažovať s možnými účinkami ostatných výstuh, ktoré existujú na rovnakom priečnom reze alebo na iných častiach priečneho rezu pod tlakovým napätiom.

Pre medziľahlú výstuhu ako konzervatívnu alternatívu hodnoty rotačnej pružinovej výstuhu $C_{0,1}$ a $C_{0,2}$ môže sa uvažovať rovné nule a priehyb δ môže byť získané zo vzorca

$$\delta = \frac{u \cdot b_1^2 \cdot b_2^2}{3 \cdot (b_1 + b_2)} \cdot \frac{12 \cdot (1 - \nu^2)}{E \cdot t^3} \quad (3.6)$$

Redukčný faktor χ_d pre krútiacu odolnosť výstuhu vo vzpere (ohybový vzper meziľahlej výstuhu) môže byť získaný z tabuľky 4 pre parameter štíhlosti daný vzorcом

$$\bar{\lambda}_s = \sqrt{f_0 / \sigma_{cr,s}} \quad (3.7)$$

Tabuľka 4: Redukčný súčinatel' pre krútiacu odolnosť výstuhy

$\bar{\lambda}_s$	χ_d
$\bar{\lambda}_s \leq 0,25$	1,00
$0,25 < \bar{\lambda}_s < 1,04$	$1,155 - 0,62\bar{\lambda}_s$
$1,04 \leq \bar{\lambda}_s$	$0,53 / \bar{\lambda}_s$

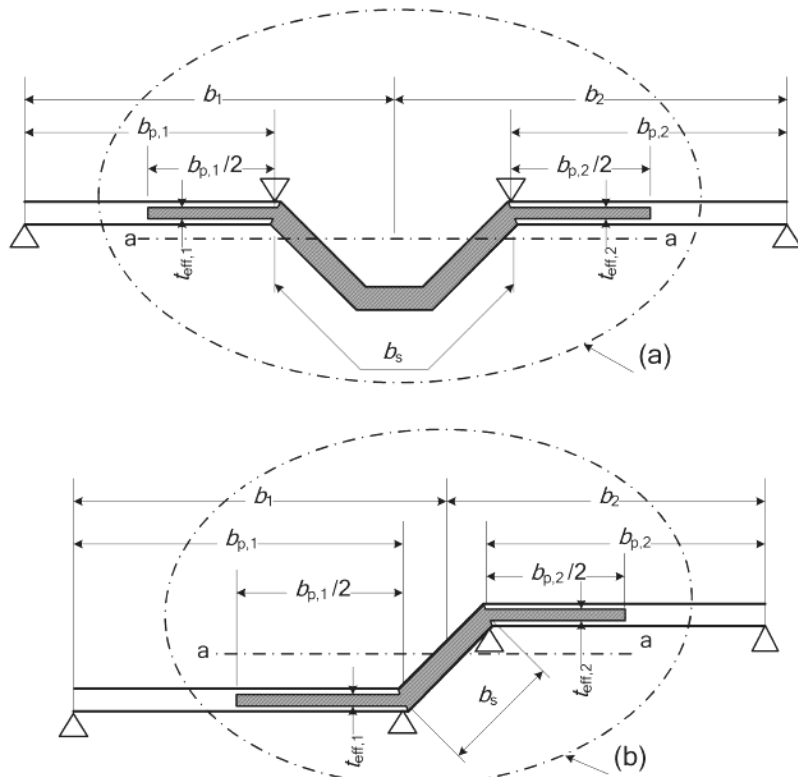
a) Podmienky pre použitie procedúry návrhu

Nasledujúca procedúra sa aplikuje pre výpočet únosnosti pásnice s meziľahlou jednou alebo dvomi výstuhami formovanými v tvaru dražiek alebo ohnutia za predpokladu, že všetky rovinné časti sú vypočítané podľa vyššie uvedeného postupu.

Výstuhy mali by byť rovnako tvarované a najviac dve. Procedúra pre stanovenie únosnosti je analyzovaná v ďalšej časti.

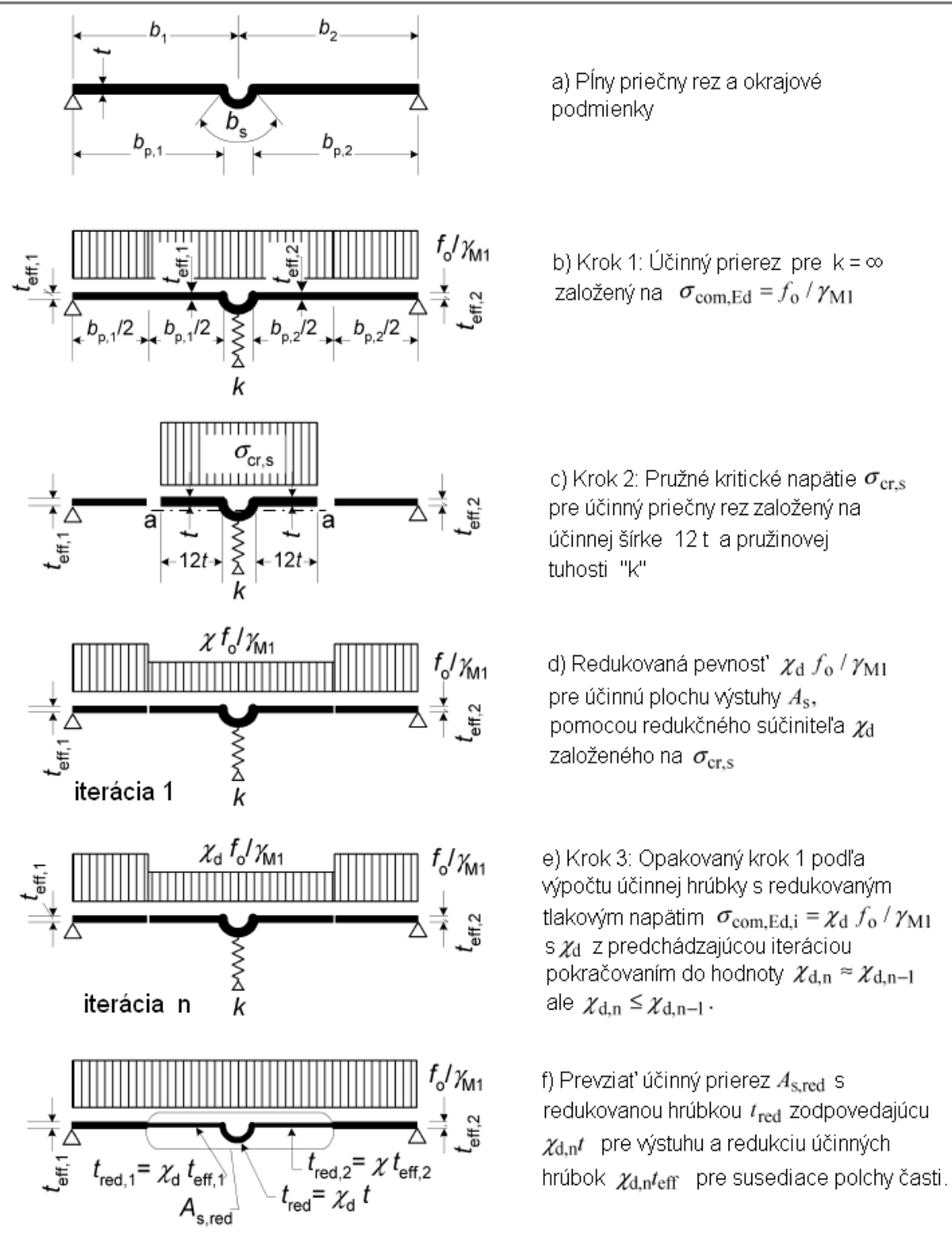
b) Procedúra návrhu

Priečny rez medziľahlej výstuhy mal by sa uvažovať ako samotná tlačená výstuha plus susedné spolupôsobiace časti pásnice $b_{p,1}$ a $b_{p,2}$ ukázané na obrázku 3.5.



Obr. 3.5: Počiatočná účinná plocha priečneho rezu výstuhy A_s
(a) v tvaru dražiek a (b) v tvaru ohnutia

TABUĽKY STATICKÝCH HODNÔT



Obr. 3.6: Model pre výpočet odporu v tlaku pásnice
s medziľahlou výstuhou

TABUĽKY STATICKÝCH HODNÔT

Procedúra, ktorá je ilustrovaná na obrázku 3.6 mala by byť vykonaná v krokoch ako nasleduje:

Krok 1: Obdŕžať počiatočný účinný priečny rez pre výstuhu k výpočtu plochy priečneho rezu A_s s použitím účinnej hrúbky určenej za predpokladu, že výstuha je pozdĺžne podporovaná a že $\sigma_{com.Ed} = f_0 / \gamma_{M1}$;

Krok 2: Použiť ďalší účinný priečny rez výstuhy pre výpočet účinného momentu zotrvačnosti za účelom určenia redukčného súčiniteľa vydúvania pri skrútení, pri uvažovaní prípustných účinkov súvislého pružinového votknutia;

Krok 3: Podľa potreby opakovať procedúru k spresneniu hodnôt redukčného súčiniteľa vzperu výstuhy.

Počiatočné hodnoty účinných hrúbok $t_{eff,1}$ a $t_{eff,2}$, znázornené na obrázku 3.5 môžu byť určené z časti prierezu bez výstuh podľa predpokladu, že časti prierezu $b_{p,1}$ a $b_{p,2}$ sú dvojite podopreté, pozri tabuľku 1.

Účinná plocha prierezu medziľahlej výstuhy A_s môže byť určená zo vzťahu

$$A_s = t_{eff,1} \cdot b_{p,1} / 2 + t_{eff,2} \cdot b_{p,2} / 2 \quad (3.8)$$

kde šírka výstuhы b_s je zrejmá z obrázku 3.5.

Kritické napätie vzpernej pevnosti $\sigma_{cr,s}$ pre medziľahlú výstuhu môže byť určené zo vzťahu

$$\sigma_{cr,s} = \frac{2 \cdot \sqrt{k \cdot E \cdot I_s}}{A_s} \quad (3.9)$$

kde k je pružinová tuhosť na jednotku dĺžky,

I_s je účinný moment zotrvačnosti plochy výstuhы, použitím hrúbky t a menovitej účinnej šírky $12 \cdot t$ príľahlej časti priečneho rezu k osi a-a jeho účinného prierezu, pozri obrázok 3.7.

Redukčný súčinieľ χ_d pre krútiacu odolnosť vo vzpere medziľahlej výstuhy môže byť získaný z hodnoty kritického napäťia vzpernej pevnosti výstuhы $\sigma_{cr,s}$, v zmysle metodiky popísanej v časti priečneho rezu s výstuhami.

Ak $\chi_d < 1,0$ môže podľa vlastného uvaženia byť zpresnené opakovane počinajúc modifikovanou hodnotou ρ , ktoré bolo získané pri analýze časti priečneho rezu bez výstuh s hodnotou $\sigma_{com.Ed}$ rovné $\chi_d \cdot f_0 / \gamma_{M1}$, teda

$$\bar{\lambda}_{p,red} = \lambda_p \cdot \sqrt{\chi_d} \quad (3.10)$$

Ak iterácia je realizovaná malo by sa pokračovať pokial súčasná hodnota χ_d je približne rovná ale nie väčšia.

Redukovaná účinná plocha výstuhы $A_{s,red}$, ktorá zohľadňuje vplyv vydúvania a krútenia mala by sa uvažovať ako

TABUĽKY STATICKÝCH HODNÔT

$$A_{s,red} = \chi_d \cdot A_s \cdot \frac{f_0 / \gamma_{M1}}{\sigma_{com,Ed}} \quad \text{ale} \quad A_{s,red} \leq A_s \quad (3.11)$$

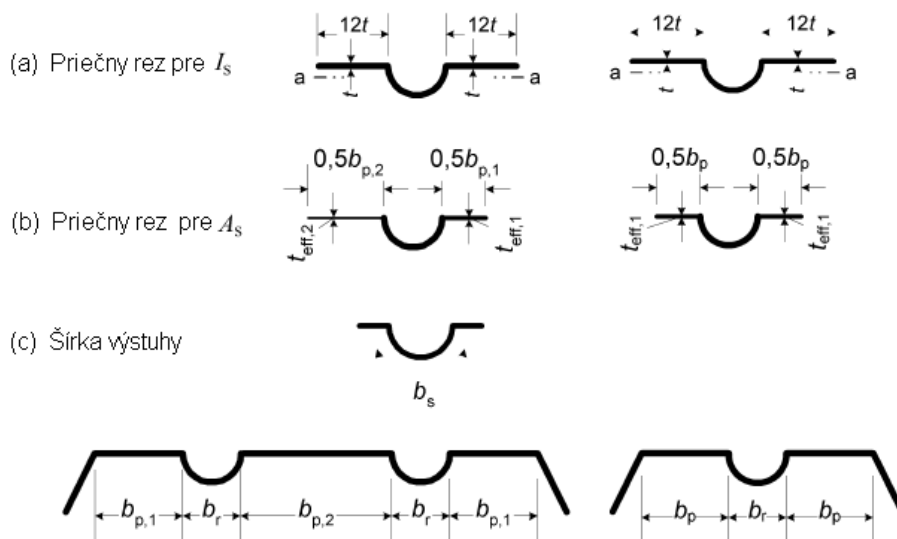
kde $\sigma_{com,Ed}$ je tlakové napätie v osi výstuhy vypočítané na základe účinnej plochy prierezu.

Pri určení účinných prierezových charakteristik, redukovanej účinnej plochy $A_{s,red}$ mala by byť reprezentovaná s použitím redukovej hrúbky $t_{red} = \chi_d \cdot t_{eff}$ pre všetky časti vrátane A_s .

3.5.3 Lichobežníkové profily medziľahlých výstuh

Doplňujúce pojednanie k časti „b2“ procedúry návrhu medziľahlej výstuhy je venované problematike interakcií medzi krúteným vydúvaním stredných výstuh pásnice a stenových výstuh, ktorá by sa mala vziať do úvahy.

a) Pásnice s medziľahlými výstuhami



Obr. 3.7: Účinné prierezy pre výpočet I_s a A_s pre tlačené pásnice s jednou alebo s dvomi výstuhami

Pre jednu centrálnu výstuhu pásnice kritické napätie vzpernej pevnosti $\sigma_{cr,s}$ sa určí podľa vzťahu

$$\sigma_{cr,s} = \frac{4,2 \cdot \kappa_w \cdot E}{A_s} \cdot \sqrt{\frac{I_s \cdot t^3}{4 \cdot b_p^2 \cdot (2 \cdot b_p + 3 \cdot b_s)}} \quad (3.12)$$

kde b_p je teoretická šírka časti pásu na obrázku 3.7

b_s je šírka medziľahlej výstuhy meraná po oblúku

κ_w je súčinitel zohľadňujúci čiastkovú rotačnú odolnosť výstuhy pásu A_s a I_s sú definované v predchádzajúcej časti.

TABUĽKY STATICKÝCH HODNÔT

Pre dve symetricky rozmiestnené výstuhy kritické napätie vzpernej pevnosti $\sigma_{cr,s}$, obrdžíme zo vzťahu

$$\sigma_{cr,s} = \frac{4,2 \cdot \kappa_w \cdot E}{A_s} \cdot \sqrt{\frac{I_s \cdot t^3}{8 \cdot b_1^2 \cdot (3 \cdot b_e - 4 \cdot b_1)}} \quad (3.13)$$

s hodnotami: $b_e = 2 \cdot b_{p,1} + b_{p,2} + 2 \cdot b_s$

$$b_1 = b_{p,1} + 0,5 \cdot b_r$$

kde $b_{p,1}$ je menovitá šírka pásu z vonkajšej strany časti výstuhy z obr. 3.7,

$b_{p,2}$ je menovitá šírka pásu medzi dvoma výstuhami z obr. 3.7,

b_s je šírka medziľahlej výstuhy meraná po oblúku.

Hodnota κ_w môže byť vypočítaná z tlačeného pásu dĺžky vlny l_b

$$\text{- ak } l_b/s_w \geq 2: \quad \kappa_w = \kappa_{w0} \quad (3.14a)$$

$$\text{- ak } l_b/s_w < 2: \quad \kappa_w = \kappa_{w0} - (\kappa_{w0} - 1) \cdot [2 \cdot l_b/s_w - (l_b/s_w)^2] \quad (3.14b)$$

kde s_w je šikmá dĺžka steny pozri obrázok 3.8.

l_b polovica dĺžky vlny pri pružnom vzpere výstuhy.

Alternatívne súčinieľ zohľadňujúci čiastkovú rotačnú odolnosť výstuhy pásu κ_w by sa mal brať konzervatívne rovný hodnote 1,0

Hodnoty l_b a κ_{w0} sú určené podľa nasledujúceho postupu:

- pre tlačený pás s jednou medziľahlou výstuhou:

$$l_b = 3,07 \cdot \sqrt[4]{I_s \cdot b_p^2 \cdot (2 \cdot b_p + 3 \cdot b_s) / t^3} \quad (3.15)$$

$$\kappa_{w0} = \sqrt{\frac{s_w + 2 \cdot b_d}{s_w + 0,5 \cdot b_d}} \quad (3.16)$$

pričom $b_d = 2 \cdot b_p + b_s$

- pre tlačený pás s dvomi alebo tromi medziľahlými výstuhami

$$l_b = 3,65 \cdot \sqrt[4]{I_s \cdot b_1^2 \cdot (3 \cdot b_e - 4 \cdot b_1) / t^3} \quad (3.17)$$

$$\kappa_{w0} = \sqrt{\frac{(2 \cdot b_e + s_w) \cdot (3 \cdot b_e - 4 \cdot b_1)}{b_1 \cdot (4 \cdot b_e - 6 \cdot b_1) + s_w \cdot (3 \cdot b_e - 4 \cdot b_1)}} \quad (3.18)$$

Redukovaná účinná plocha výstuhy $A_{s,red}$ prípustná pre vzper v krútení (ohybový vzper medziľahlej výstuhy) môže byť uvažovaná

$$A_{s,red} = \chi_d \cdot A_s \cdot \frac{f_0 / \gamma_{M1}}{\sigma_{com,Ed}} \quad \text{ale} \quad A_{s,red} \leq A_s \quad (3.19)$$

Ak steny sú nevystužené, potom redukčný súčinieľ χ_d môže byť získaný priamo z hodnoty kritického napäťia vzpernej pevnosti $\sigma_{cr,s}$ použitím vyšie uvedeného postupu.

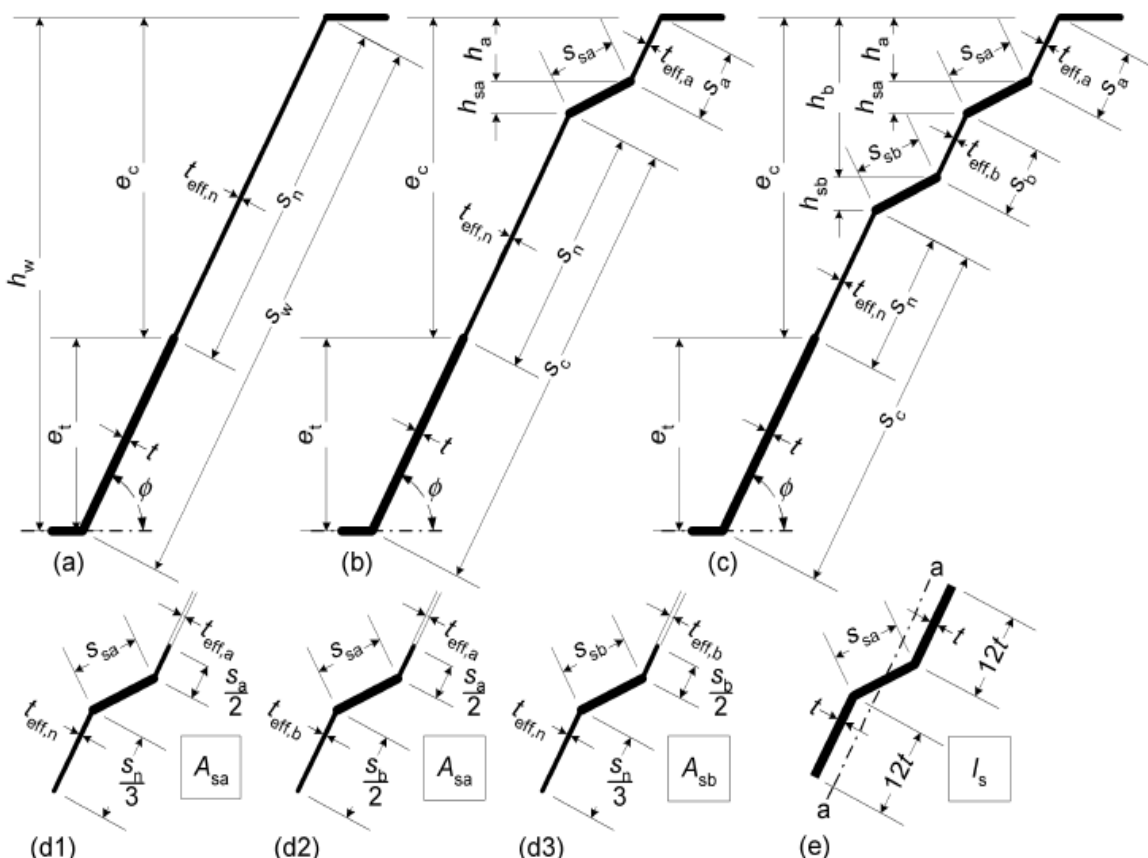
TABUĽKY STATICKÝCH HODNÔT

V prípade, že steny sú tiež vystužené potom redukčný súčinieľ χ_d môže byť vyššie popísaný s modifikovaným pružným kritickým napätiom $\sigma_{cr,mod}$.

Pri určovaní vlastnosti efektívneho prierezu môže redukovaná efektívna plocha $A_{s,red}$ byť reprezentovaná prostredníctvom redukovanej hrúbky $t_{red} = \chi_d \cdot t_{eff}$ pre celú časť prierezu vrátane v A_s .

3.5.4 Steny s vnútornými výstuhami pod účinkom tlaku

Účinná plocha prierezu tlačenej zóny steny môže byť predpokladaná ako zložená účinná redukovaná plocha $A_{s,red}$ medziahlých výstuh priľahlých páskov k tlačenému pásu a páskov priľahlých k stenám pozri obrázok 3.8. Steny namáhané jednotkovým tlakovým napätiom môžu byť stužujúcimi pásmi.



Obr. 3.8: Účinné prierezy tvarovaných plechových profilov

Účinná plocha prierezu steny ako je vidieť na obrázku 3.8 môže zahrňovať:

- pás o šírke $s_a/2$ a efektívnu hrúbku $t_{eff,a}$ susediacu s tlačeným pásmom;
- redukovanú účinnú plochu $A_{s,red}$ pre každú stenu v maxime dva;
- pás o šírke $2 \cdot s_n/3$ a susediaci s pozdĺžnou výstuhou;
- časť tlačenej steny.

Iniciálna účinná plocha môže byť určená nasledovne:

- pre jednoduchú výstuhu

TABUĽKY STATICKÝCH HODNÔT

$$A_{sa} = \left(t_{eff,a} \cdot \frac{s_a}{2} + t \cdot s_{sa} + t_{eff,n} \cdot \frac{s_n}{3} \right) \quad \text{obrázok 3.8 (d1)} \quad (3.20a)$$

- pre výstuhu k tlačenému pásu v stene medzi dvomi výstuhami

$$A_{sa} = \left(t_{eff,a} \cdot \frac{s_a}{2} + t \cdot s_{sa} + t_{eff,b} \cdot \frac{s_b}{2} \right) \quad \text{obrázok 3.8 (d2)} \quad (3.20b)$$

- pre druhu výstuhu

$$A_{sb} = \left(t_{eff,b} \cdot \frac{s_b}{2} + t \cdot s_{sb} + t_{eff,n} \cdot \frac{s_n}{3} \right) \quad \text{obrázok 3.8 (d3)} \quad (3.21)$$

v ktorých rozmery s_a , s_{sa} , s_b , s_{sb} a s_n sú ukázané na obrázku 3.8 a hrúbky $t_{eff,a}$, $t_{eff,b}$ a $t_{eff,n}$ sú uvedené nižšie.

Iniciálne umiestnenie účinnej pozdĺžnej osi môže byť založené na účinnej ploche pásu s veľkou plochou stien.

Ak štíhllosť $\bar{\lambda}_p$ časti tlačenej steny, ktorá je väčšia ako $\bar{\lambda}_{lim}$ potom účinné hrúbky $t_{eff,a}$, $t_{eff,b}$ a $t_{eff,n}$ sú určené podľa vzorca

$$t_{eff} = \rho \cdot t \quad (3.22)$$

kde ρ je vypočítané na základe štíhlosti $\bar{\lambda}_p$ ako je uvedené v časti 3.5. Pomer krajných napätií ψ je uvedené v tauľke 5. Hodnoty e_c a e_t sú vzdialosti od efektívnej osi tlačeného a ľahaneho pásu, pozri obrázok 3.8. Dimenzie h_a , h_b , h_{sa} , h_{sb} , s_n a ϕ sú ukázané tiež na obrázku 3.8.

Iniciálne účinné plochy výstuh sú A_{sa} a A_{sb} . Hodnoty s_a a s_b sú rozdelené na dva rovnaké časti $s_a/2$ a $s_b/2$. Časť steny s_n nad centrálnou osou je rozdelená na časť $s_n/3$ susediacej s výstuhou, pozri obrázok 3.8 (d1) a (d3) ako aj časť $2 \cdot s_n/3$ príľahlej centrálnej osi prierezu.

Pre jednu výstuhu v tlačenom páse steny alebo dve výstuhы pružné vzperné napätie $\sigma_{cr,sa}$ môže byť určené podľa vzorca

$$\sigma_{cr,sa} = \frac{1,05 \cdot \kappa_f \cdot E \cdot \sqrt{I_{sa} \cdot t^3 \cdot s_1}}{A_{sa} \cdot s_2 \cdot (s_1 - s_2)} \quad (3.23)$$

v ktorom s_1 a s_2 sú dané takto:

- pre jednu výstuhu

$$s_1 = 0,9 \cdot (s_a + s_{sa} + s_c), \quad s_2 = s_1 - s_a - 0,5 \cdot s_{sa} \quad (3.24)$$

- uzaváraciu výstuhu k tlačenému pásu v stene s dvomi výstuhami

$$s_1 = s_a + s_{sa} + s_b + 0,5 \cdot (s_{sb} + s_c), \quad s_2 = s_1 - s_a - 0,5 \cdot s_{sa} \quad (3.25)$$

kde κ_f je súčinitel', ktorý berie do úvahy čiastkové rotáčné votknutie výstuh steny a pásov,

I_{sa} moment zotrvačnosti tlačenej výstuhы vytvorenj prelisom so šírkou s_{sa} ako aj dvoch príľahlých pásov so šírkou $12 \cdot t$ rovnobežne s pasom steny, pozri obrázok 3.8 (e). Pri výpočte I_{sa} možné rozdiely v sklone medzi dvomi rovinami časti priečneho rezu na ďalšiu stranu výstuhы možno zanedbať.

TABUĽKY STATICKÝCH HODNÔT

Tabuľka 5: Štíhlosť $\bar{\lambda}_p$ a súčinieľ pomeru ψ pre stenu a výstuhu

Lokalizovaná časť steny	Časť steny	Štíhlosť $\bar{\lambda}_p$	Súčinieľ pomeru napäti ψ
Bez výstuh, obrázok 3.8 (a)			
Medzi tlačeným pásmom a centrálnou osou	s_n	$\bar{\lambda}_p = \frac{s_n}{t} \sqrt{\frac{f_0}{E k_\sigma}}$	$\psi = -\frac{e_t}{e_c}$
Jedna výstuha, obrázok 3.8 (b)			
Susediaca s tlačeným pásmom	s_a	$\bar{\lambda}_p = \frac{s_a}{t} \sqrt{\frac{f_0}{E k_\sigma}}$	$\psi = \frac{e_c - h_a}{e_c}$
Susediaca s centrálnou osou	s_n	$\bar{\lambda}_p = \frac{s_n}{t} \sqrt{\frac{f_0}{E k_\sigma} \cdot \frac{(e_c - h_a - h_{sa})}{e_c}}$	$\psi = -\frac{e_c}{s_n \cdot \sin\phi}$
Dve výstuhy, obrázok 3.8 (c)			
Susediaca s tlačeným pásmom	s_a	$\bar{\lambda}_p = \frac{s_a}{t} \sqrt{\frac{f_0}{E k_\sigma}}$	$\psi = \frac{e_c - h_a}{e_c}$
Medzi výstuhami	s_b	$\bar{\lambda}_p = \frac{s_b}{t} \sqrt{\frac{f_0}{E k_\sigma} \cdot \frac{(e_c - h_a - h_{sa})}{e_c}}$	$\psi = \frac{e_c - h_b}{e_c - h_a - h_{sa}}$
Susediaca s centrálnou osou	s_n	$\bar{\lambda}_p = \frac{s_n}{t} \sqrt{\frac{f_0}{E k_\sigma} \cdot \frac{(e_c - h_b - h_{sb})}{e_c}}$	$\psi = -\frac{e_c}{s_n \cdot \sin\phi}$

Pri absencií detailnejšieho vyšetrovania súčinieľ rotačnej tuhosti κ_f konzervatívne možno brať 1,0 korešpondujúc s podmienkami bodového spojenia.

Pre jednoduchú tlačenú výstuhu, alebo uzavretú výstuhu k tlačenému pásu v stene so šírkou dvoch výstuh redukovaná účinná plocha $A_{sa,red}$ (Krok 2 v obrázku 3.6) môže byť určená zo vzťahu:

$$A_{sa,red} = \frac{\chi_d \cdot A_{sa}}{1 - \frac{h_a + 0,5 \cdot h_{sa}}{e_c}} \quad \text{ale} \quad A_{sa,red} \leq A_{sa} \quad (3.26)$$

Ak pásy sú tiež vystužené, redukčný súčinieľ χ_d môže byť určený podľa potupu uvedeného v časti 3.5.2 ale s modifikovaným pružným kritickým napätiom $\sigma_{cr,mod}$ uvedeným v časti 3.5.3.

Pre jednoduchú ľahanú výstuhu, redukovaná účinná plocha $A_{sa,red}$ môže byť rovná A_{sa} . Pre stenu s dvoma výstuhami, redukovaná účinná plocha $A_{sb,red}$ pre druhu výstuhu uzavretú k neutrálnej osi môže byť rovná A_{sb} . Pri určovaní účinných prierezových charakteristík, redukovaná účinná plocha $A_{sa,red}$ môže byť reprezentovaná prostredníctvom redukovej hrúbky $t_{red} = \chi_d \cdot t_{eff}$ pre celú časť prierezu zahrnutú v A_{sa} . V prípade ak $\chi_d < 1$ má byť určená iteratívne.

TABUĽKY STATICKÝCH HODNÔT

3.5.5 Plechy s výstuhami pásu a výstuhami steny

V prípade plechu s vnútornými výstuhami v pásoch a v stenách, pozri obrázok 3.9, interakciou medzi vzperom v krútení a výstuhami pásov a výstuhami stien môže byť modifikované pružné kritické napätie $\sigma_{cr,mod}$ pre obidva typy výstuh dané

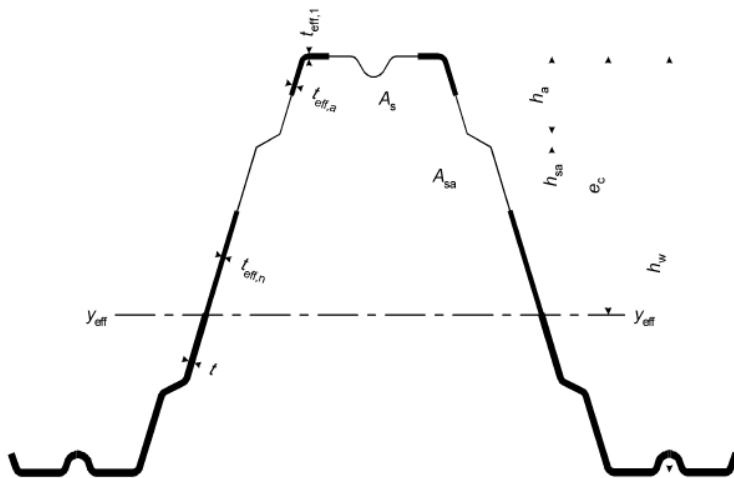
$$\sigma_{cr,mod} = \frac{\sigma_{cr,s}}{\sqrt[4]{1 + \left[\beta_s \cdot \frac{\sigma_{cr,s}}{\sigma_{cr,sa}} \right]^4}} \quad (3.27)$$

kde $\sigma_{cr,s}$ je pružné kritické napätie pre medziľahlú výstuhu,

$\sigma_{cr,sa}$ je pružné kritické napätie pre jednoduchú výstuhu steny alebo výstuhu uzavretú v stene dvojicou výstuh.

$\beta_s = 1 - (h_a + 0,5 \cdot h_{sa})/e_c$ pre profil namáhaný ohybovým momentom,

$\beta_s = 1$ pre profil namáhaný osovým tlakom.



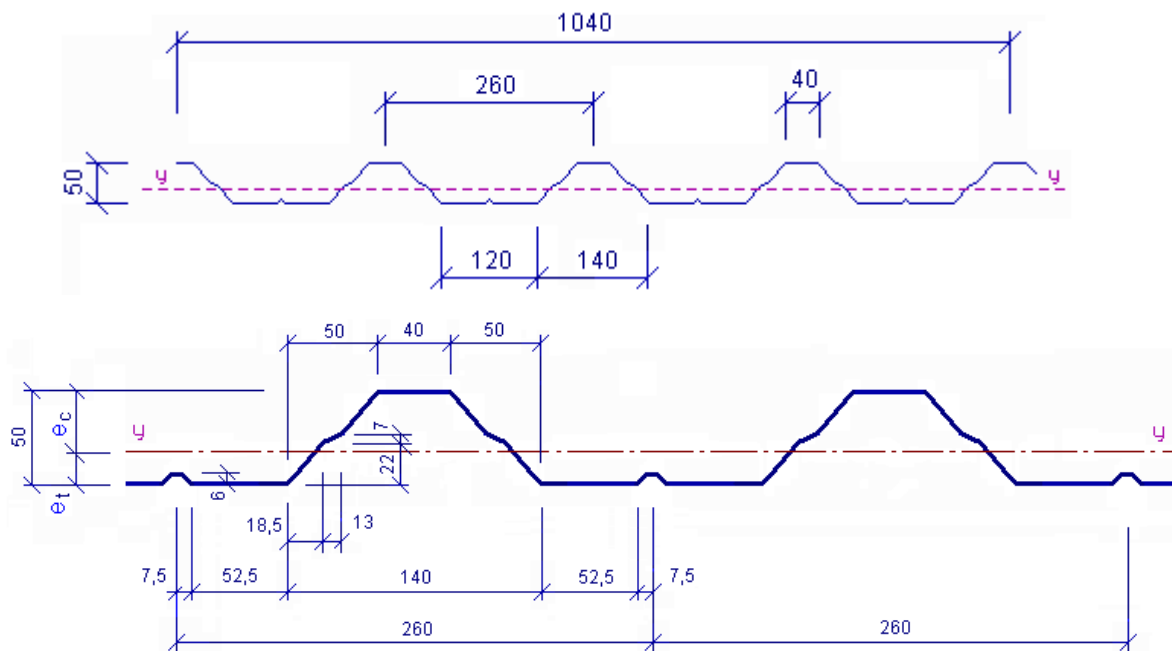
Obr. 3.9: Účinný prierez tvarovaného profilu s výstuhami v pásu a stenách

TABUĽKY STATICKÝCH HODNÔT

4. RIEŠENIE ÚNOSNOSTI PRIEREZU ALT-50

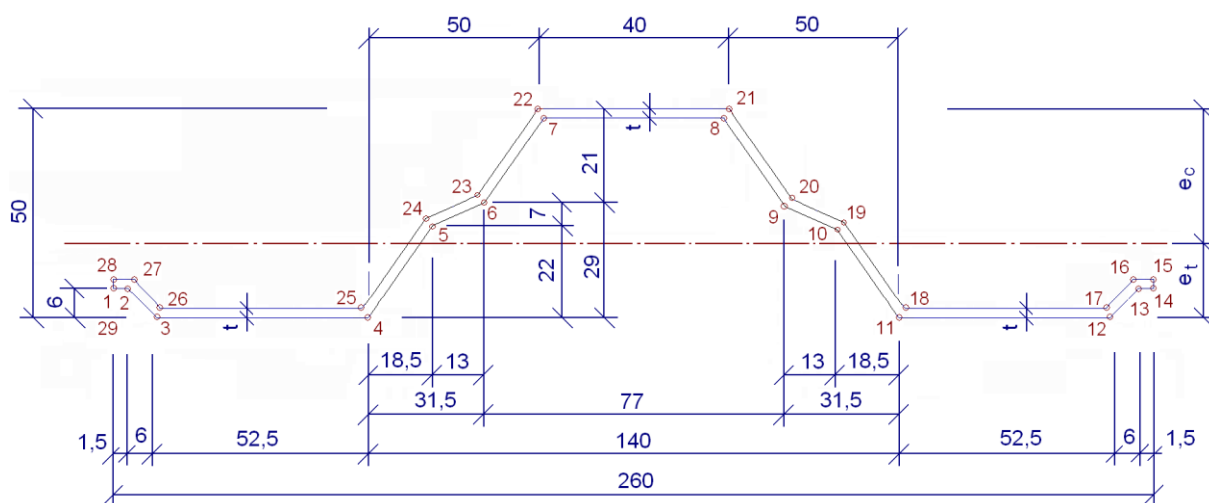
- Uvažované hrúbky plechu: 0,6; 0,7; 0,8; 0,9; a 1,0 mm.
- Uvažované rozpätia nosníkov: 1,5; 1,75; 2,0; 2,25; 2,5; 2,75; 3,0; 3,25 a 3,50 m
- Pevnostná trieda hliníka: 3105 H46; $f_0 = 160 \text{ MPa}$

4.1 TRAPEZ ALT-50 A

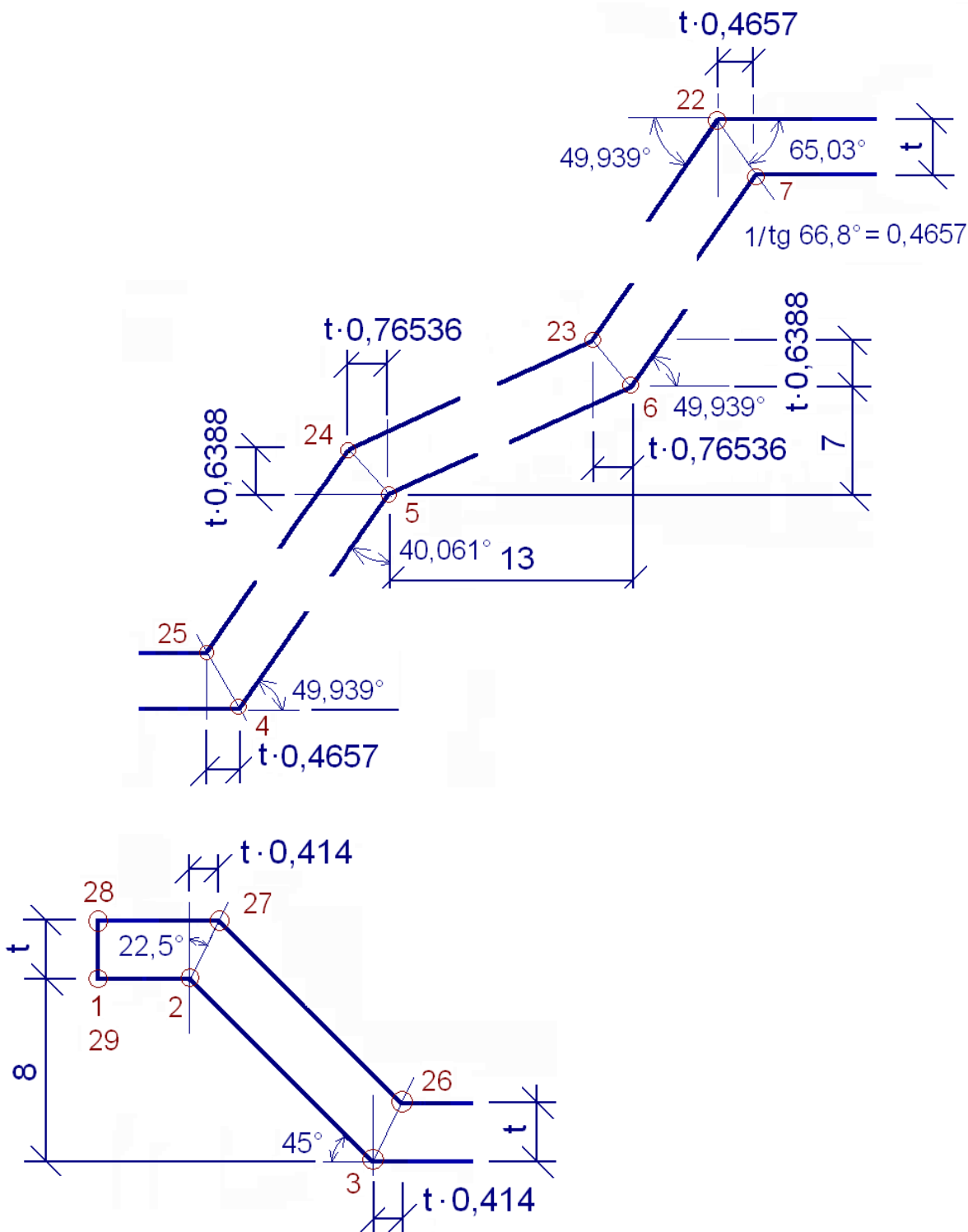


Obr. 4.1: Tvar plechu ALT-50 A

- Prierez s pôvodnou hrúbkou pre určenie t'ažiska



Obr. 4.2: Tvar časti prierezu s pôvodnou hrúbkou t



Obr. 4.3: Detaily časti prierezu s pôvodnou hrúbkou t

Kritérium platnosti návrhu:

- pre tlačené pásnice $b/t \leq 300$
- pre steny $s_w/t \leq 0,5 \cdot E/f_0$

TABUĽKY STATICKÝCH HODNÔT

Súradnice uzlov prierezu s pôvodnou hrúbkou

Uzol	Y (mm)	Z (mm)
1	0	6
2	1,5	6
3	7,5	0
4	60	0
5	78,5	22
6	91,5	29
7	110+ $t \cdot 0,4657$	$h-t$
8	150- $t \cdot 0,4657$	$h-t$
9	168,5	29
10	181,5	22
11	200	0
12	252,5	0
13	258,5	6
14	260	6
15	260	6+t
16	258,5- $t \cdot 0,414$	6+t
17	252,5- $t \cdot 0,414$	t
18	200+ $t \cdot 0,4657$	t
19	181,5+ $t \cdot 0,76536$	22+ $t \cdot 0,6388$
20	168,5+ $t \cdot 0,76536$	29+ $t \cdot 0,6388$
21	150	h
22	110	h
23	91,5- $t \cdot 0,76536$	29+ $t \cdot 0,6388$
24	78,5- $t \cdot 0,76536$	22+ $t \cdot 0,6388$
25	60- $t \cdot 0,4657$	t
26	7,5+ $t \cdot 0,414$	t
27	1,5+ $t \cdot 0,414$	6+t
28	0	6+t
29	0	6

Vypočítané hodnoty ťažiska: e_c ; e_t vstupujú do výpočtu redukovaného prierezu.

Lokálne vyduvanie

- Tlačená pásnica prierezu

$$b_p = 40 \text{ mm}; \quad f_0 = 160 \text{ MPa}; \quad E = 70000 \text{ MPa}; \quad k_\sigma = 4$$

Hrúbka t : 0,6; 0,7; 0,8; 0,9; a 1,0 mm

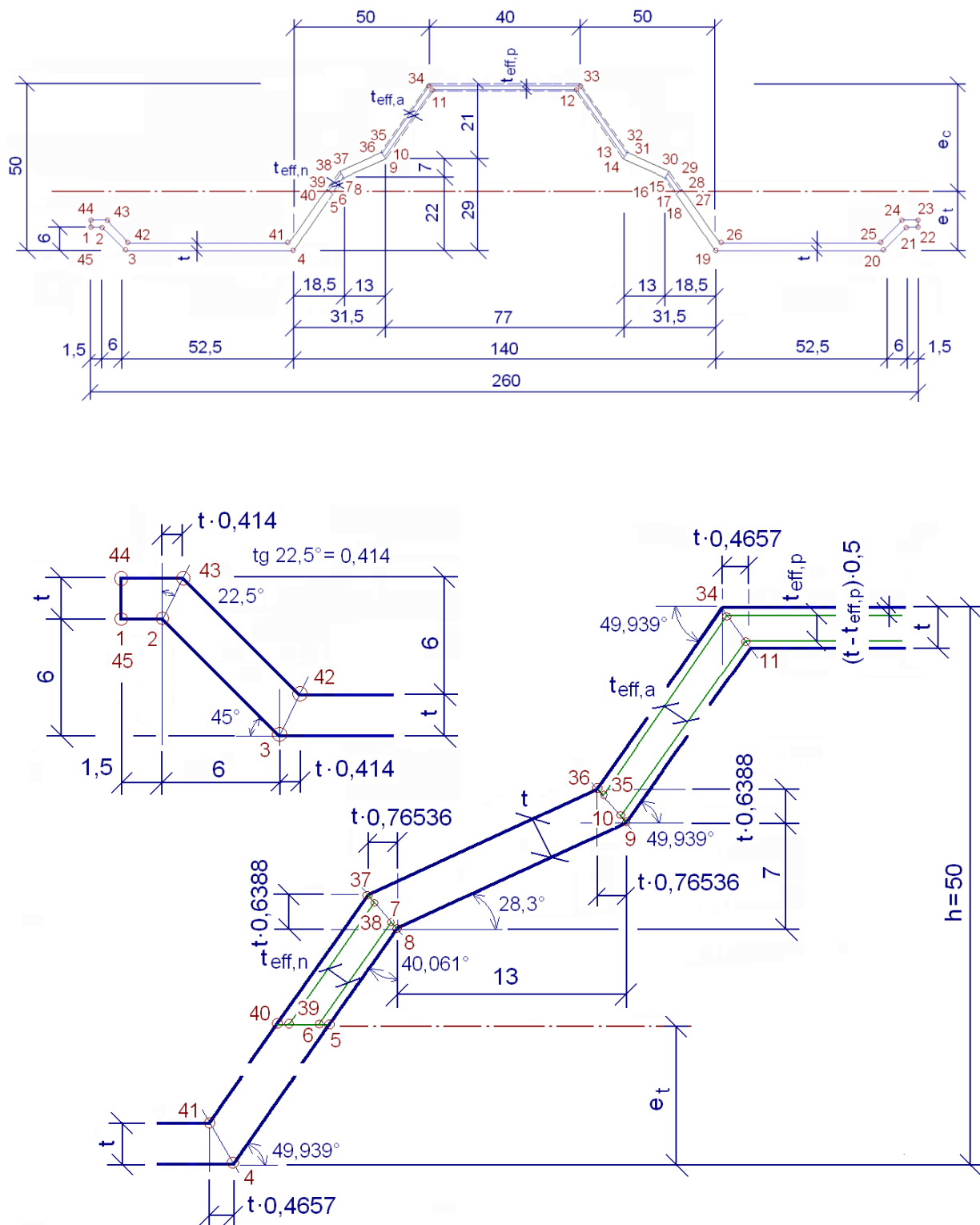
$$\bar{\lambda}_p = 1,052 \cdot \frac{b_p}{t} \cdot \sqrt{\frac{f_0}{E \cdot k_\sigma}} = 1,052 \cdot \frac{40}{t} \cdot \sqrt{\frac{160}{70000 \cdot 4}} = \frac{1,0059}{t} > \bar{\lambda}_{\lim} = 0,517$$

$$\rho = \alpha \cdot (1 - 0,22 / \bar{\lambda}_p) / \bar{\lambda}_p = 0,9 \cdot (1 - 0,22 / (1,0059/t)) / (1,0059/t)$$

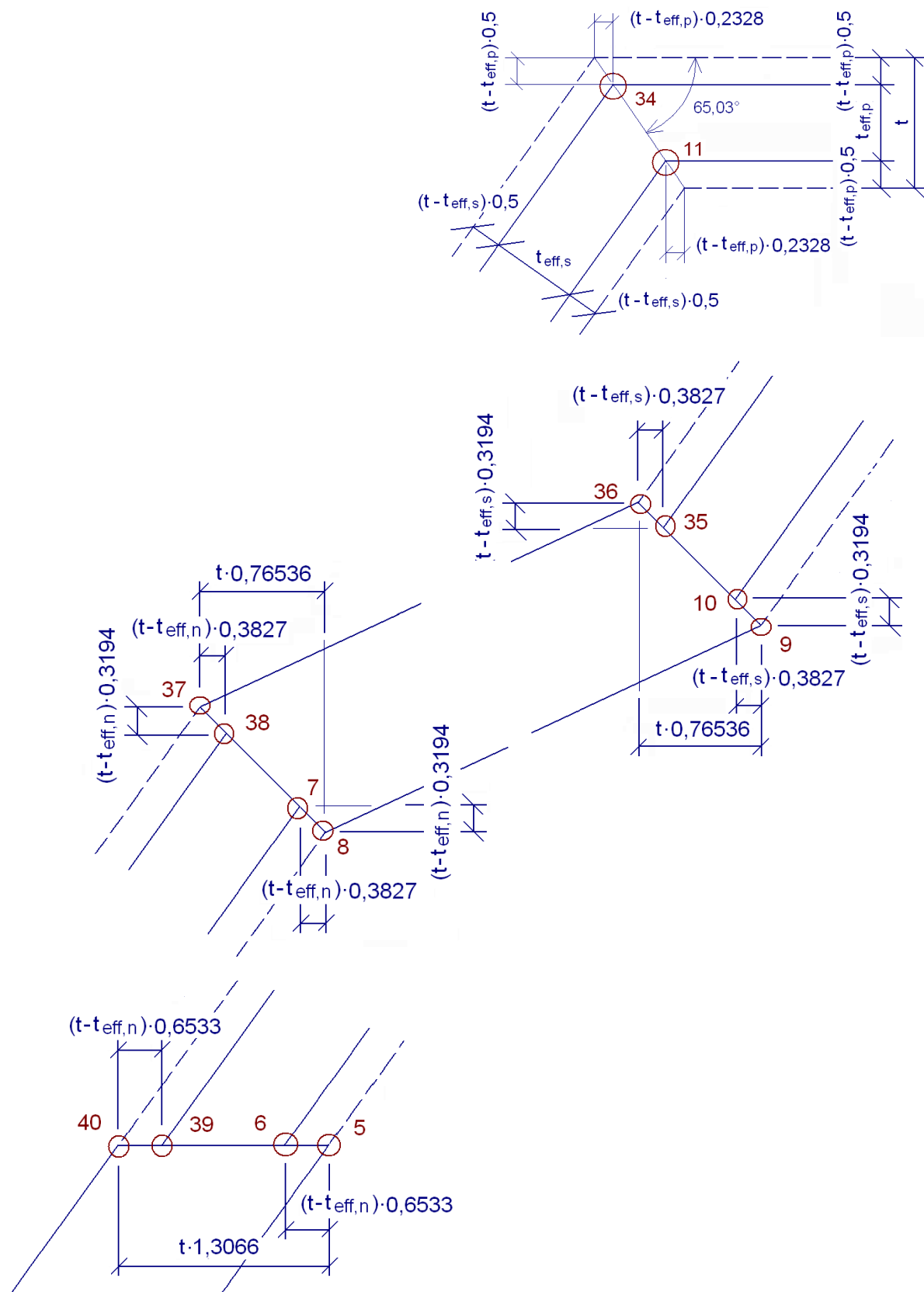
$$t_{eff,p} = \rho \cdot t$$

TABUĽKY STATICKÝCH HODNÔT

- Prierez s efektívou hrúbkou tlačených stien



Obr. 4.4: Tvar časti prierezu s efektívnou hrúbkou tlačených častí

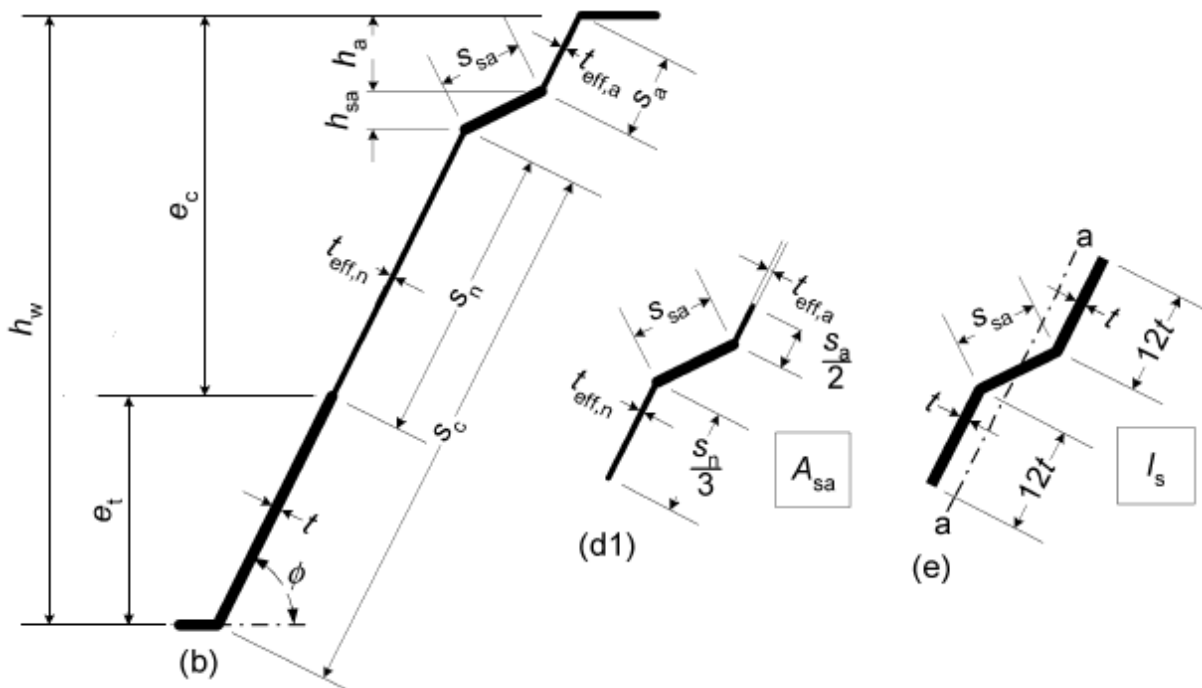


Obr. 4.5: Detaily časti prierezu s efektívou hrúbkou

steny a pásnice

TABUĽKY STATICKÝCH HODNÔT

- Tlačená stena prierezu s výstuhou



Obr. 4.6: Učinný prierez tvarovaného plechu

Štíhlosť $\bar{\lambda}_p$ a súčiniteľ pomeru ψ pre stenu

$$f_0 = 160 \text{ MPa}; \quad E = 70000 \text{ MPa}$$

- Stena susediaca s tlačeným pásmom

$$\bar{\lambda}_p = \frac{s_a}{t} \cdot \sqrt{\frac{f_0}{E \cdot k_\sigma}}; \quad s_a = 27,438 \text{ mm};$$

$$\psi = -\frac{e_c - h_a}{e_c}; \quad h_a = 21 \text{ mm}$$

$$k_\sigma = 7,81 - 6,26 \cdot \psi + 9,78 \cdot \psi^2$$

$$\rho = 0,9 \cdot (1 - 0,22 / \bar{\lambda}_p) / \bar{\lambda}_p;$$

$$t_{eff,a} = \rho \cdot t$$

- Stena susediaca s centrálnou osou

$$\bar{\lambda}_p = \frac{s_c}{t} \cdot \sqrt{\frac{f_0}{E \cdot k_\sigma}} \cdot \frac{(e_c - h_a - h_{sa})}{e_c};$$

$$s_c = 22 / \sin \phi = 22 / 0,7653 = 28,744 \text{ mm}; \quad h_a = 21 \text{ mm}; \quad h_{sa} = 7 \text{ mm}$$

$$\psi = -\frac{e_c}{s_n \cdot \sin \phi}; \quad \phi = 49,939^\circ; \quad \sin \phi = 0,7653$$

$$k_\sigma = 7,81 - 6,26 \cdot \psi + 9,78 \cdot \psi^2$$

$$\rho = 0,9 \cdot (1 - 0,22 / \bar{\lambda}_p) / \bar{\lambda}_p;$$

TABUĽKY STATICKÝCH HODNÔT

$$t_{eff,n} = \rho \cdot t ;$$

Iniciálna účinná plocha

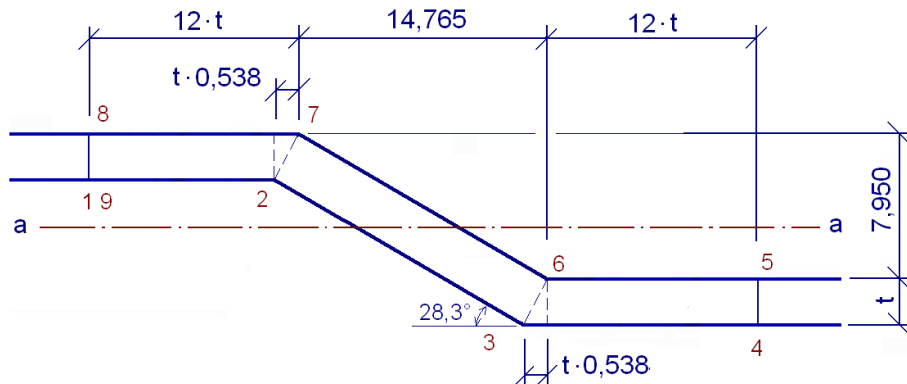
- pre jednoduchú výstuhu

$$A_{sa} = \left(t_{eff,a} \cdot \frac{s_a}{2} + t \cdot s_{sa} + t_{eff,n} \cdot \frac{s_n}{3} \right) \quad \text{obrázok 4.6 (d1)}$$

$$h_a = 21 \text{ mm}; \quad \phi = 49,939^\circ; \quad s_a = h_a / \sin \phi = 21 / 0,7653 = 27,438 \text{ mm}$$

$$s_{sa} = 13 / \cos 28,3^\circ = 13 / 0,880 = 14,764 \text{ mm}$$

Moment zotrvačnosti tlačenej výstuhy



Obr. 4.7: Počiatočná účinná plocha priečneho rezu výstuhy

Súradnice uzlov prierezu pre výpočet I_{sa}

Uzol	Y (mm)	Z (mm)
1	0	7,95
2	$11,462 \cdot t$	7,95
3	$11,462 \cdot t + 14,765$	0
4	$24 \cdot t + 14,765$	0
5	$24 \cdot t + 14,765$	t
6	$12 \cdot t + 14,765$	t
7	$12 \cdot t$	$7,95 + t$
8	0	$7,95 + t$
9	0	7,95

Vzperné napätie pre výstuhu v tlačenom páse steny

$$\sigma_{cr,sa} = \frac{1,05 \cdot \kappa_f \cdot E \cdot \sqrt{I_{sa} \cdot t^3 \cdot s_1}}{A_{sa} \cdot s_2 \cdot (s_1 - s_2)}$$

$$s_1 = 0,9 \cdot (s_a + s_{sa} + s_c) = 0,9 \cdot (27,438 + 14,764 + 28,744) = 70,946 \text{ mm}$$

$$s_2 = s_1 - s_a - 0,5 \cdot s_{sa} = 70,946 - 27,438 - 0,5 \cdot 14,746 = 36,135 \text{ mm}$$

$$\kappa_f = 1$$

TABUĽKY STATICKÝCH HODNÔT



Súradnice uzlov prierezu s efektívou hrúbkou

$$t_{ep} = t_{eff,p}; \quad t_{ea} = t_{eff,a}; \quad t_{en} = t_{eff,n}$$

Uzol	Y (mm)	Z (mm)
1	0	6
2	1,5	6
3	7,5	0
4	60	0
5	$60 + e_t \cdot 0,841$	e_t
6	$60 + e_t \cdot 0,841 - (t - t_{en}) \cdot 0,6533$	e_t
7	$78,5 - (t - t_{en}) \cdot 0,3827$	$22 + (t - t_{en}) \cdot 0,3194$
8	78,5	22
9	91,5	29
10	$91,5 - (t - t_{es}) \cdot 0,3827$	$29 + (t - t_{es}) \cdot 0,3194$
11	$110 + t \cdot 0,4657 + (t - t_{ep}) \cdot 0,2328$	$h - t + (t - t_{ep}) \cdot 0,5$
12	$150 - t \cdot 0,4657 - (t - t_{ep}) \cdot 0,2328$	$h - t + (t - t_{ep}) \cdot 0,5$
13	$168,5 + (t - t_{es}) \cdot 0,3827$	$29 + (t - t_{es}) \cdot 0,3194$
14	168,5	29
15	181,5	22
16	$181,5 - (t - t_{es}) \cdot 0,3827$	$29 + (t - t_{es}) \cdot 0,3194$
17	$200 - e_t \cdot 0,841 + (t - t_{en}) \cdot 0,6533$	e_t
18	$200 - e_t \cdot 0,841$	e_t
19	200	0
20	252,5	0
21	258,5	8
22	260	8
23	260	$6+t$
24	$258,5 - t \cdot 0,414$	$6+t$
25	$252,5 - t \cdot 0,414$	t
26	$200 + t \cdot 0,4657$	t
27	$200 - e_t \cdot 0,841 + t \cdot 1,3066$	e_t
28	$200 - e_t \cdot 0,841 - (t - t_{en}) \cdot 0,6533$	e_t
29	$181,5 + t \cdot 0,76536 - (t - t_{en}) \cdot 0,3827$	$29 + t \cdot 0,6388 - (t - t_{en}) \cdot 0,3194$
30	$181,5 + t \cdot 0,76536$	$22 + t \cdot 0,6388$
31	$168,5 + t \cdot 0,76536$	$29 + t \cdot 0,6388$

TABUĽKY STATICKÝCH HODNÔT

Súradnice uzlov prierezu s efektívou hrúbkou - pokračovanie tabuľky

Uzol	Y (mm)	Z (mm)
32	$91,5 - t \cdot 0,76536 - (t - t_{es}) \cdot 0,3827$	$29 + (t - t_{en}) \cdot 0,3194$
33	$150 - (t - t_{ep}) \cdot 0,2328$	$h - (t - t_{ep}) \cdot 0,5$
34	$110 + (t - t_{ep}) \cdot 0,2328$	$h - (t - t_{ep}) \cdot 0,5$
35	$91,5 - t \cdot 0,76536 + (t - t_{es}) \cdot 0,3827$	$29 + t \cdot 0,6388 - (t - t_{es}) \cdot 0,3194$
36	$91,5 - t \cdot 0,76536$	$29 + t \cdot 0,6388$
37	$78,5 - t \cdot 0,76536$	$22 + t \cdot 0,6388$
38	$78,5 - t \cdot 0,76536 + (t - t_{en}) \cdot 0,3827$	$22 + t \cdot 0,6388 - (t - t_{en}) \cdot 0,3194$
39	$60,5 + e_t \cdot 0,841 - t \cdot 1,3066 + (t - t_{en}) \cdot 0,6533$	e_t
40	$60,5 + e_t \cdot 0,841 - t \cdot 1,3066$	e_t
41	$60 - t \cdot 0,4657$	t
42	$7,5 + t \cdot 0,414$	t
43	$1,5 + t \cdot 0,414$	$6+t$
44	0	$6+t$
45	0	6

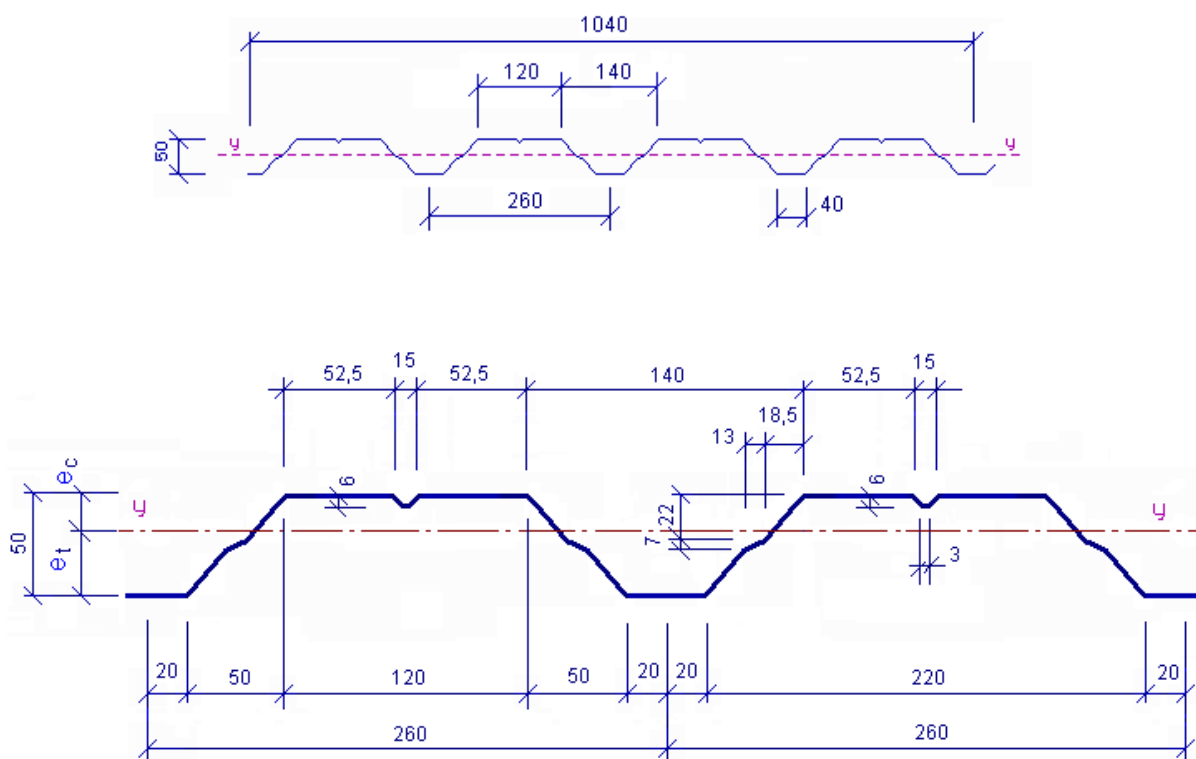
PRIEREZOVÉ CHARAKTERISTIKY ALT-50Aeff NA m'

Hliník 3105 H46; $f_0 = 160 \text{ MPa}$

t [mm]	b_h [mm]	b_d [mm]	e_h [mm]	e_d [mm]	$I_{y,eff}$ [mm ⁴]	$W_{y,eff,h}$ [mm ³]	$W_{y,eff,d}$ [mm ³]
0,60	40	52,5	35,243	14,457	180,937	8,938	12,260
0,70	40	52,5	34,602	15,398	223,629	11,408	14,523
0,80	40	52,5	34,072	15,928	267,495	14,025	16,794
0,90	40	52,5	33,640	16,360	311,946	16,735	19,067
1,00	40	52,5	33,294	16,706	356,446	19,484	21,336
Násob.	-	-	-	-	10^3	10^3	10^3

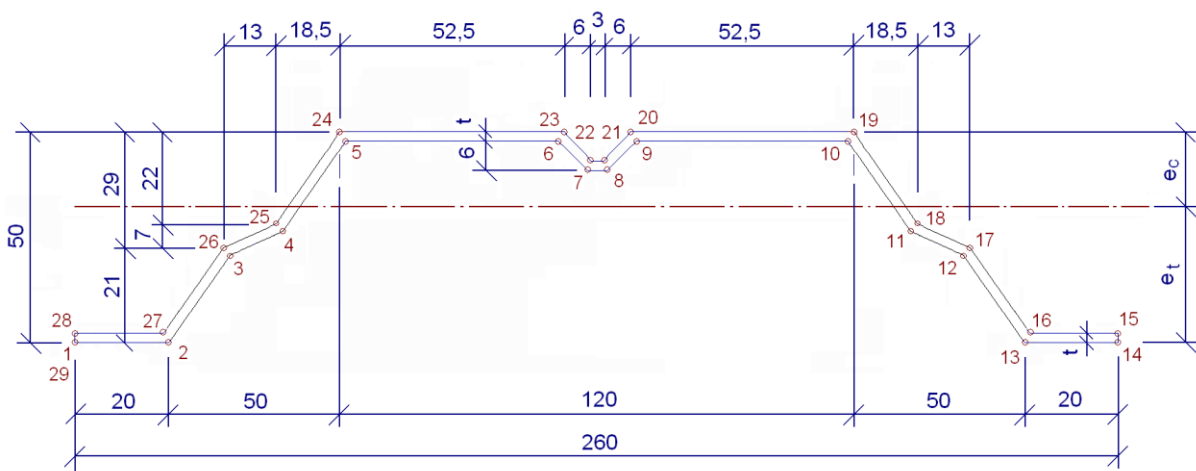
TABUĽKY STATICKÝCH HODNÔT

4.2 TRAPEZ ALT-50 B



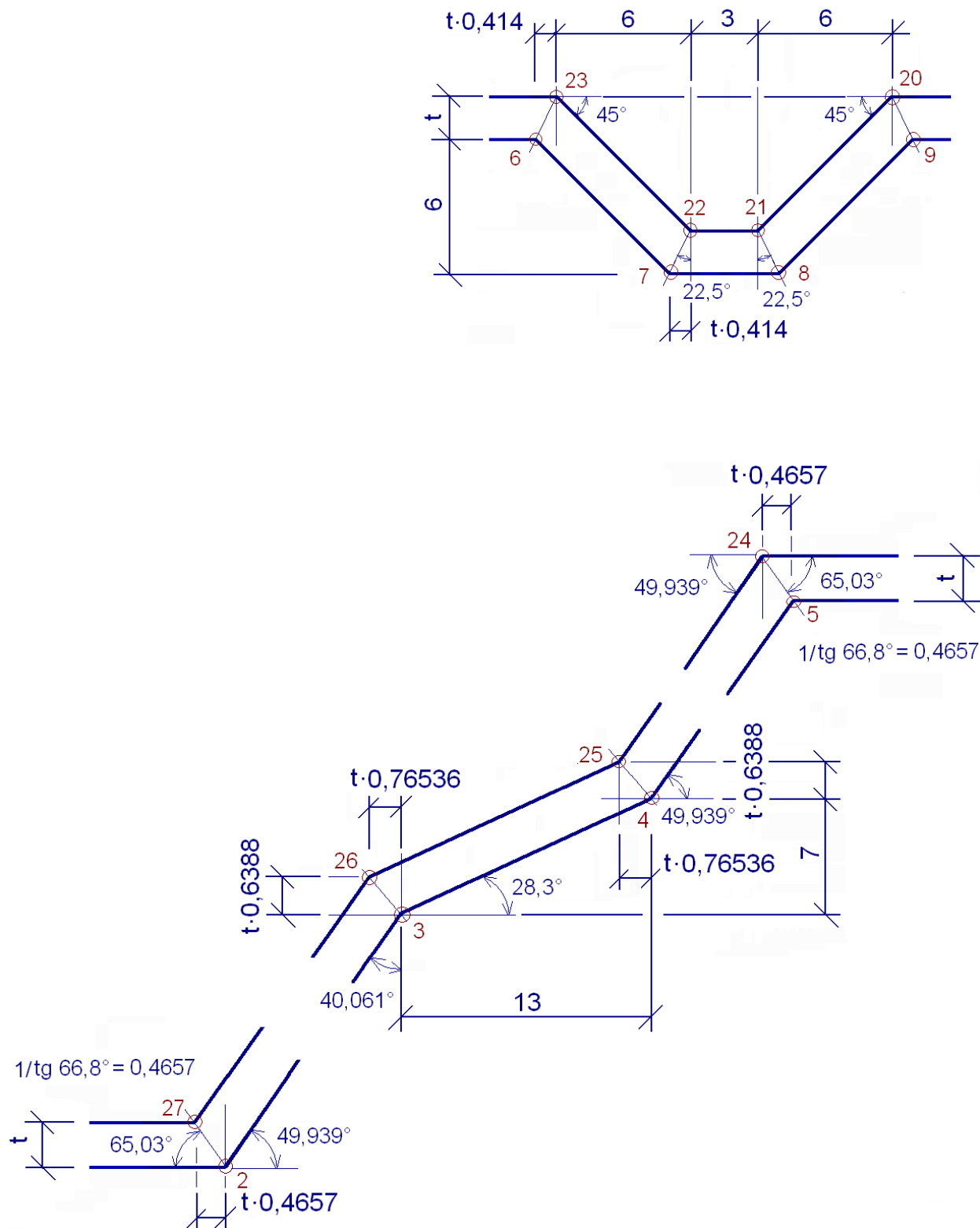
Obr. 4.8: Tvar plechu ALT-50 B

- Prierez s pôvodnou hrúbkou pre určenie t'ažiska



Obr. 4.9: Tvar časti prierezu s pôvodnou hrúbkou t

TABUĽKY STATICKÝCH HODNÔT



Obr. 4.10: Detaily časti prierezu s pôvodnou hrúbkou t

TABUĽKY STATICKÝCH HODNÔT

Súradnice uzlov prierezu s pôvodnou hrúbkou

Uzol	Y (mm)	Z (mm)
1	0	0
2	20	0
3	38,5 + $t \cdot 0,76536$	21 - $t \cdot 0,6388$
4	51,5 + $t \cdot 0,76536$	28 - $t \cdot 0,6388$
5	70 + $t \cdot 0,4657$	$h - t$
6	118 - $t \cdot 0,414$	$h - t$
7	126 - $t \cdot 0,414$	$h - t - 6$
8	134 + $t \cdot 0,414$	$h - t - 6$
9	142 + $t \cdot 0,414$	$h - t$
10	190 - $t \cdot 0,4657$	$h - t$
11	208,5 - $t \cdot 0,76536$	28 - $t \cdot 0,6388$
12	221,5 - $t \cdot 0,76536$	21 - $t \cdot 0,6388$
13	240	0
14	260	0
15	260	t
16	240 + $t \cdot 0,4657$	t
17	221,5	21
18	208,5	28
19	190	h
20	142	h
21	134	$h - 6$
22	126	$h - 6$
23	118	h
24	70	h
25	51,5	28
26	38,5	21
27	20 - $t \cdot 0,4657$	t
28	0	t
29	0	0

Lokálne vyduvanie

- Tlačená pásnica s medziľahlou výstuhou

Parametre pásnice s výstuhou

$$b_p = 120 \text{ mm}; \quad f_0 = 160 \text{ MPa}; \quad E = 70000 \text{ MPa}; \quad k_\sigma = 4$$

Hrúbka t : 0,6; 0,7; 0,8; 0,9; a 1,0 mm

$$b_1 = 120/2 = 60 \text{ mm}; \quad b_2 = 120/2 = 60 \text{ mm}$$

$$b_{p,1} = 60 - 7,5 = 52,5 \text{ mm}; \quad b_{p,2} = 52,5 \text{ mm}$$

$$b_p = b_{p,1} = 52,5 \text{ mm}$$

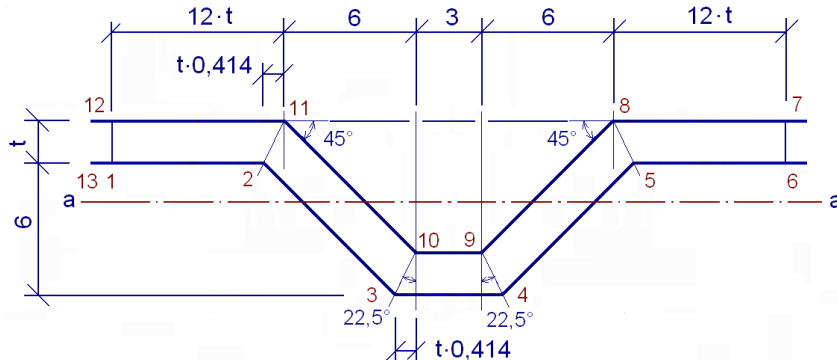
$$\bar{\lambda}_p = 1,052 \cdot \frac{b_p}{t} \cdot \sqrt{\frac{f_0}{E \cdot k_\sigma}} = 1,052 \cdot \frac{52,5}{t} \cdot \sqrt{\frac{160}{70000 \cdot 4}} = \frac{1,32025}{t} > \bar{\lambda}_{\lim} = 0,517$$

TABUĽKY STATICKÝCH HODNÔT

$$\rho = \alpha \cdot (1 - 0,22 / \bar{\lambda}_p) / \bar{\lambda}_p ; \quad \alpha = 0,90 ;$$

$$t_{eff,1} = \rho \cdot t ; \quad t_{eff,2} = \rho \cdot t ;$$

$$b_s = 3 + 2 \cdot 6 \cdot 1,414 = 19,968 \text{ mm}$$



Obr. 4.11: Počiatočná účinná plocha priečneho rezu výstuhy pre výpočet I_s

Súradnice uzlov prierezu výstuhy pre výpočet I_s

Uzol	Y (mm)	Z (mm)
1	0	6
2	$12 \cdot t - 0,414 \cdot t$	6
3	$12 \cdot t + 6 - 0,414 \cdot t$	0
4	$12 \cdot t + 9 + 0,414 \cdot t$	0
5	$12 \cdot t + 15 + 0,414 \cdot t$	6
6	$24 \cdot t + 15$	6
7	$24 \cdot t + 15$	$6 + t$
8	$12 \cdot t + 15$	$6 + t$
9	$12 \cdot t + 9$	t
10	$12 \cdot t + 3$	t
11	$12 \cdot t$	$6 + t$
12	0	$6 + t$
13	0	6

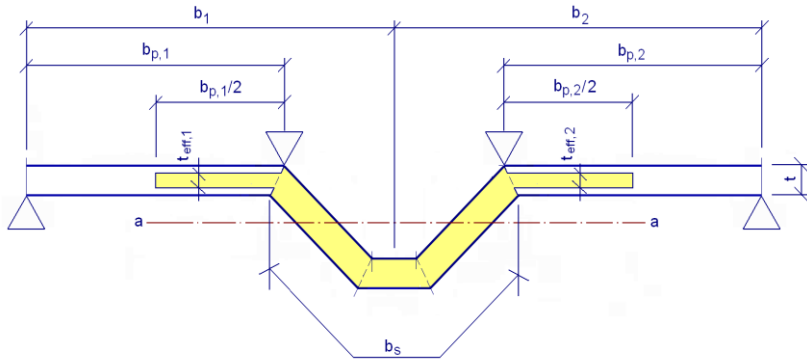
$$A_s = b_p \cdot t_{eff,1} + b_s \cdot t = 52,5 \cdot t_{eff,1} + 19,968 \cdot t$$

$$\kappa_w = 1$$

$$\sigma_{cr,s} = \frac{4,2 \cdot \kappa_w \cdot E}{A_s} \cdot \sqrt{\frac{I_s \cdot t^3}{4 \cdot b_p^2 \cdot (2 \cdot b_p + 3 \cdot b_s)}}$$

$$\bar{\lambda}_s = \sqrt{f_0 / \sigma_{cr,s}}$$

TABUĽKY STATICKÝCH HODNÔT



Obr. 4.12: Počiatočná účinná plocha priečneho rezu výstuhy pre výpočet A_s

Redukčný súčinitel' χ_d

Ak $\bar{\lambda}_s \leq 0,25$ potom $\chi_d = 1,0$

Ak $0,25 < \bar{\lambda}_s < 1,04$ potom $\chi_d = 1,155 - 0,62 \cdot \bar{\lambda}_s$

Ak $1,04 \leq \bar{\lambda}_s$ potom $\chi_d = 0,53/\bar{\lambda}_s$

Ak $\chi_d < 1,0$

$$\bar{\lambda}_{p,red} = \bar{\lambda}_p \cdot \sqrt{\chi_d}$$

$$\sigma_{com.Ed} = f_0 / \gamma_{M1}$$

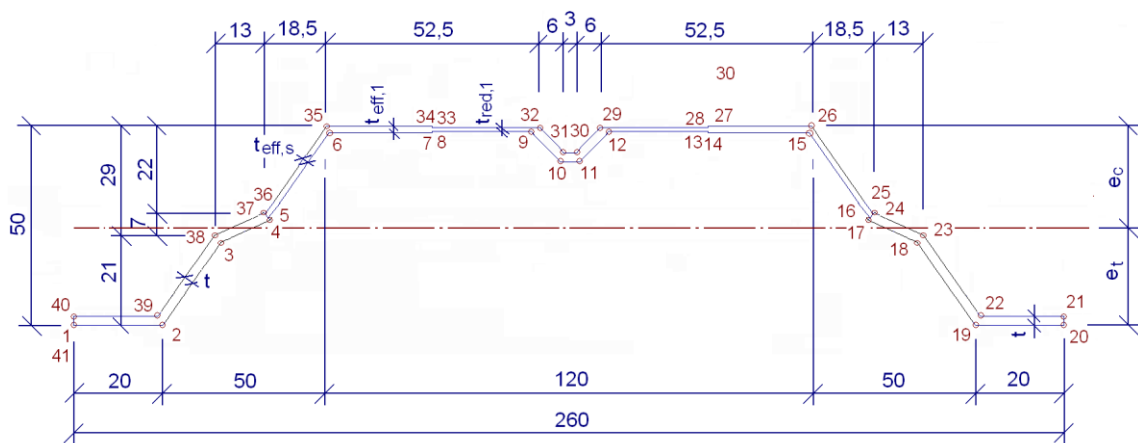
$$A_{s,red} = \chi_d \cdot A_s \cdot \frac{f_0 / \gamma_{M1}}{\sigma_{com,Ed}} \quad \text{ale} \quad A_{s,red} \leq A_s$$

Redukovaná hrúbka t_{red} pre všetky časti vrátane A_s :

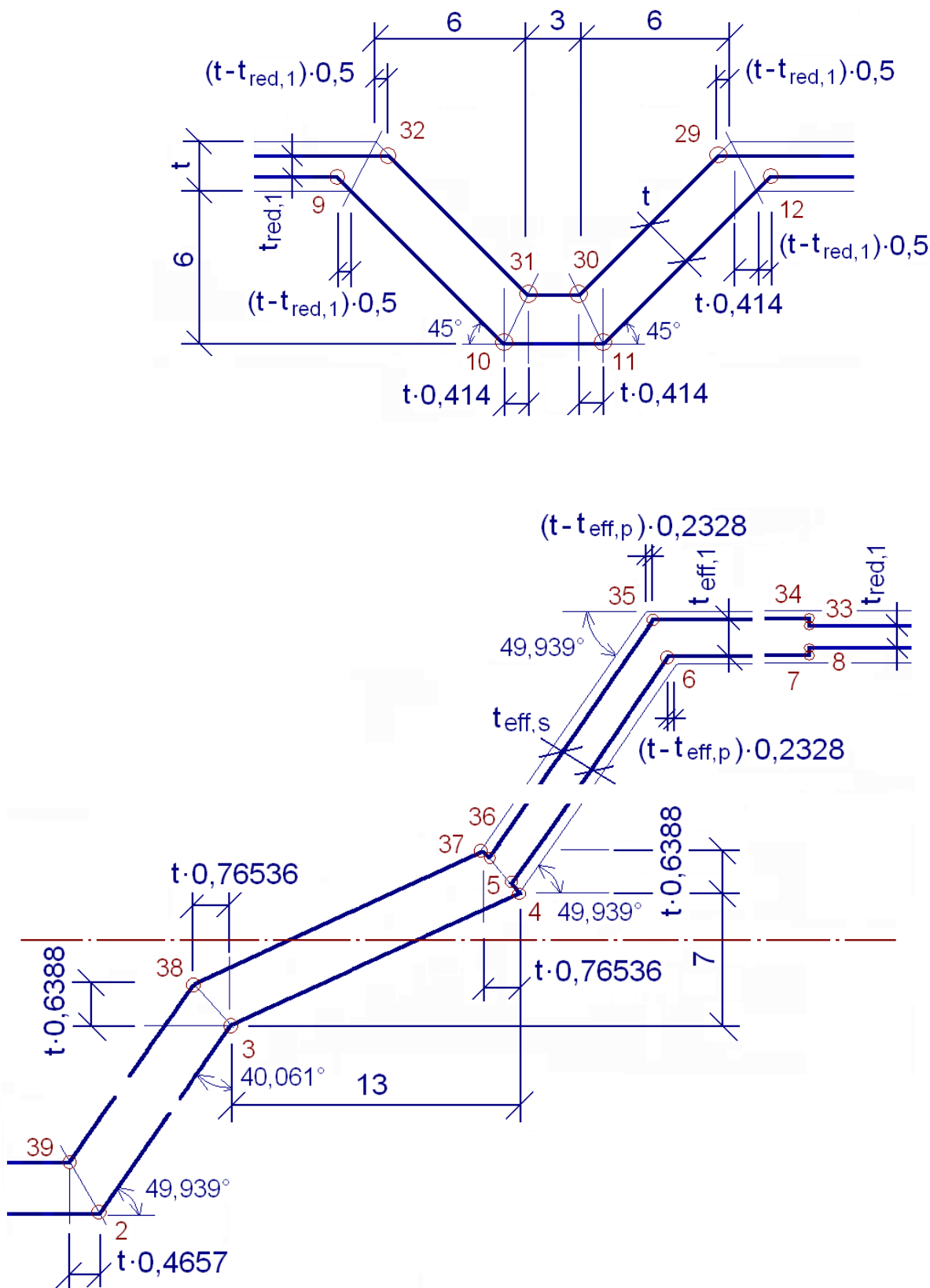
Pre časti pásnice: $t_{red,1} = \chi_d \cdot t_{eff,1}$; $t_{red,2} = \chi_d \cdot t_{eff,2}$

Pre výstihu: $t_{\text{rec}} = \gamma_d \cdot t$

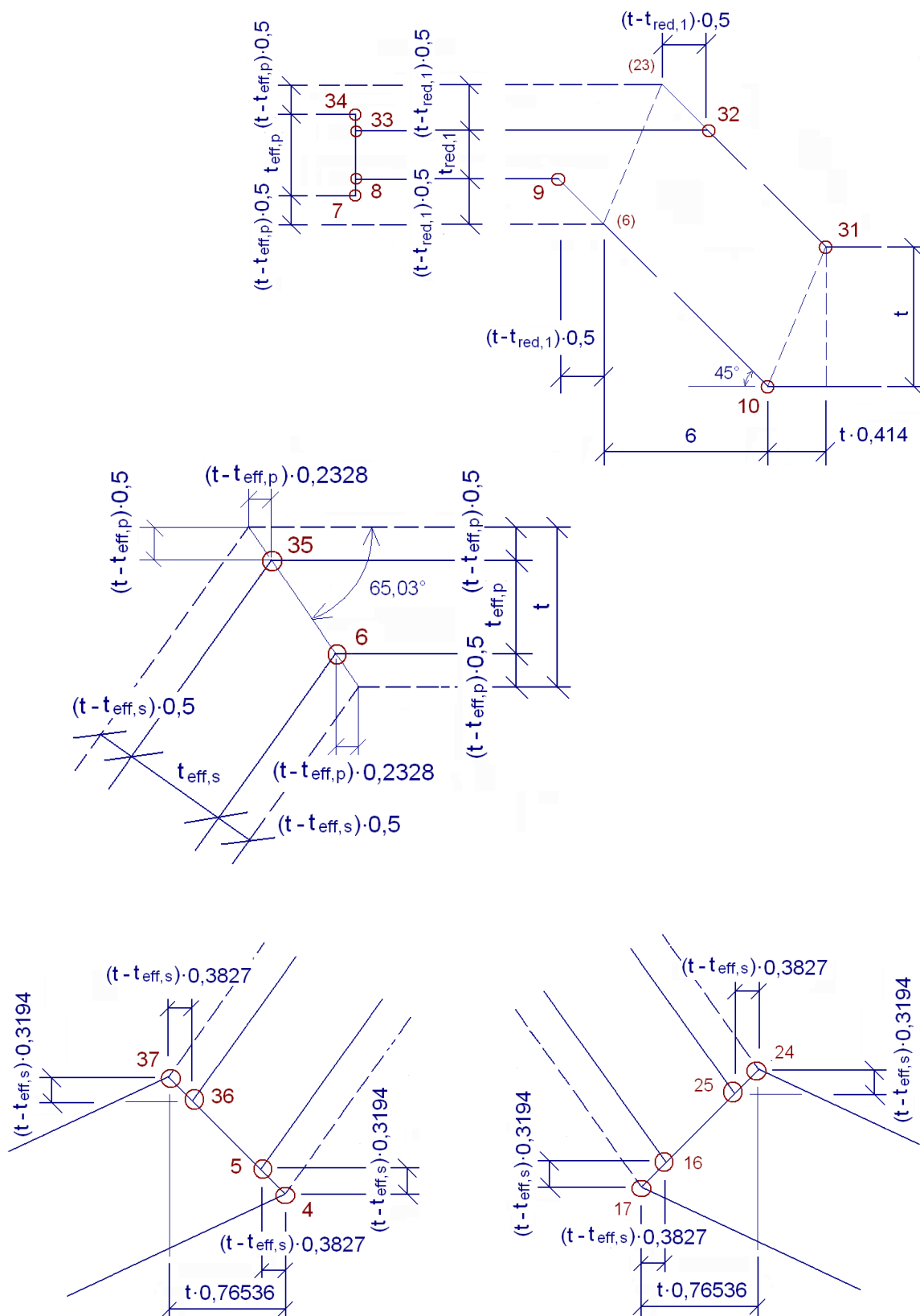
- Prierez s efektívou hrúbkou tlačených stien



Obr. 4.13: Tvar časti prierezu s efektívou hrúbkou a redukovanou hrúbkou tlačených častí



Obr. 4.14: Časti prierezu s efektívou hrúbkou a redukovanou hrúbkou tlačených častí



Obr. 4.15: Detail časti prierezu s efektívou hrúbkou a redukovanou hrúbkou tlačených častí

TABUĽKY STATICKÝCH HODNÔT

Súradnice uzlov prierezu s efektívou hrúbkou

Uzol	Y (mm)	Z (mm)
1	0	0
2	20	0
3	$38,5+t \cdot 0,76536$	$21-t \cdot 0,6388$
4	$51,5+t \cdot 0,76536$	$28-t \cdot 0,6388$
5	$36,459+t \cdot 0,76536-(t-t_{es}) \cdot 0,3827$	$28-t \cdot 0,6388+(t-t_{es}) \cdot 0,3194$
6	$70+t \cdot 0,4657-(t-t_{ep}) \cdot 0,2328$	$h-t+(t-t_{ep}) \cdot 0,5$
7	96,25	$h-t+(t-t_{ep}) \cdot 0,5$
8	96,25	$h-t+(t-t_{red}) \cdot 0,5$
9	$142+t \cdot 0,414+(t-t_{red}) \cdot 0,5$	$h-t+(t-t_{red}) \cdot 0,5$
10	128,5- $t \cdot 0,414$	$h-t-6$
11	$131,5+t \cdot 0,414$	$h-t-6$
12	$137,5+t \cdot 0,414+(t-t_{red}) \cdot 0,5$	$h-t+(t-t_{red}) \cdot 0,5$
13	163,75	$h-t+(t-t_{red}) \cdot 0,5$
14	163,75	$h-t+(t-t_{ep}) \cdot 0,5$
15	$190-t \cdot 0,4657+(t-t_{ep}) \cdot 0,2328$	$h-t+(t-t_{ep}) \cdot 0,5$
16	$208,5-t \cdot 0,76536+(t-t_{es}) \cdot 0,3827$	$28-t \cdot 0,6388-(t-t_{es}) \cdot 0,3194$
17	208,5- $t \cdot 0,76536$	$28-t \cdot 0,6388$
18	$221,5-t \cdot 0,76536$	$21-t \cdot 0,6388$
19	240	0
20	260	0
21	260	t
22	$240+t \cdot 0,4657$	t
23	221,5	21
24	208,5	28
25	$208,5-(t-t_{es}) \cdot 0,3827$	$28-(t-t_{es}) \cdot 0,3194$
26	$190-(t-t_{ep}) \cdot 0,2328$	$h-(t-t_{ep}) \cdot 0,5$
27	163,75	$h-(t-t_{ep}) \cdot 0,5$
28	163,75	$h-(t-t_{red}) \cdot 0,5$
29	$137,5-(t-t_{red}) \cdot 0,5$	$h-(t-t_{red}) \cdot 0,5$
30	131,5	$h-6$
31	128,5	$h-6$
32	$122,5+(t-t_{red}) \cdot 0,5$	$h-(t-t_{red}) \cdot 0,5$
33	96,25	$h-(t-t_{red}) \cdot 0,5$
34	96,25	$h-(t-t_{ep}) \cdot 0,5$

TABUĽKY STATICKÝCH HODNÔT

Súradnice uzlov prierezu s efektívou hrúbkou - pokračovanie

Uzol	Y (mm)	Z (mm)
35	$70 + (t - t_{ep}) \cdot 0,2328$	$h - (t - t_{ep}) \cdot 0,5$
36	$51,5 + (t - t_{es}) \cdot 0,3827$	$28 - (t - t_{es}) \cdot 0,3194$
37	51,5	28
38	38,5	21
39	$20 - t \cdot 0,4657$	t
40	0	t
41	0	0

PRIEREZOVÉ CHARAKTERISTIKY ALT-50Beff NA m'

Hliník 3105 H46; $f_0 = 160 \text{ MPa}$

t [mm]	b_h [mm]	b_d [mm]	e_h [mm]	e_d [mm]	$I_{y,eff}$ [mm ⁴]	$W_{y,eff,h}$ [mm ³]	$W_{y,eff,d}$ [mm ³]
0,60	120	40	26,230	23,770	167,602	14,924	7,051
0,70	120	40	25,607	24,393	202,825	19,122	8,314
0,80	120	40	25,054	24,946	239,095	23,782	9,584
0,90	120	40	24,560	25,440	276,212	28,893	10,857
1,00	120	40	24,116	25,884	314,008	34,446	12,131
Násob.	-	-	-	-	10^3	10^3	10^3

5. MEDZNÉ ZAŤAŽENIA HLINÍKOVÝCH TRAPÉZOVÝCH PLECHOV

5.1 TRAPEZ ALT-50 A



TRAPEZ ALT-50 A

Hliník 3105 H46; $f_0 = 160 \text{ MPa}$

t [mm]	g [kg/m ²]	Kritérium pre * pevnosť max δ	Medzne zaťaženie q [kN/m ²] pre rozpätie L [m] ^{1), 2)}								
			1,0	1,25	1,5	1,75	2,0	2,25	2,5	3,0	
0,60	1,900	*	5.95	3.81	2.64	1.94	1.49	1.18	0.95	0.79	0.66
		$L/200$	5.95	3.72	2.15	1.36	0.91	0.64	0.47	0.35	0.27
		$L/250$	5.82	2.98	1.72	1.09	0.73	0.51	0.37	0.28	0.22
		$L/300$	4.85	2.48	1.44	0.90	0.61	0.43	0.31	0.23	0.18
0,70	2,216	*	7.50	4.80	3.33	2.45	1.88	1.48	1.20	0.99	0.83
		$L/200$	7.50	4.61	2.67	1.68	1.13	0.79	0.58	0.43	0.33
		$L/250$	7.20	3.69	2.13	1.34	0.90	0.63	0.46	0.35	0.27
		$L/300$	6.00	3.07	1.78	1.12	0.75	0.53	0.38	0.29	0.22
0,80	2,531	*	9.13	5.84	4.06	2.98	2.28	1.80	1.46	1.21	1.01
		$L/200$	9.13	5.52	3.19	2.01	1.35	0.95	0.69	0.52	0.40
		$L/250$	8.62	4.41	2.55	1.61	1.08	0.76	0.55	0.41	0.32
		$L/300$	7.18	3.68	2.13	1.34	0.90	0.63	0.46	0.35	0.27
0,90	2,846	*	10.79	6.91	4.80	3.52	2.70	2.13	1.73	1.43	1.20
		$L/200$	10.79	6.44	3.73	2.35	1.57	1.10	0.81	0.60	0.47
		$L/250$	10.06	5.15	2.98	1.88	1.26	0.88	0.64	0.48	0.37
		$L/300$	8.39	4.29	2.48	1.56	1.05	0.74	0.54	0.40	0.31
1,00	3,161	*	12.47	7.98	5.54	4.07	3.12	2.46	2.00	1.65	1.39
		$L/200$	12.47	7.36	4.26	2.68	1.80	1.26	0.92	0.69	0.53
		$L/250$	11.51	5.89	3.41	2.15	1.44	1.01	0.74	0.55	0.43
		$L/300$	9.59	4.91	2.84	1.79	1.20	0.84	0.61	0.46	0.36

¹⁾ Medzne zaťaženie z hľadiska pevnosti je stanovené ako **návrhová** hodnota²⁾ Medzne zaťaženie z hľadiska priehybu je stanovené ako **charakteristická** hodnota

TABUĽKY STATICKÝCH HODNÔT



TRAPEZ ALT- 50 A

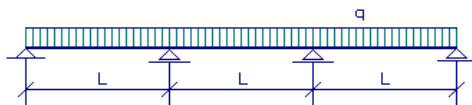
Hliník 3105 H46; $f_0 = 160 \text{ MPa}$

t [mm]	g [kg/m ²]	Kritérium pre * pevnosť max δ	Medzné zaťaženie q [kN/m ²] pre rozpätie L [m] ^{1), 2)}								
			1,0	1,25	1,5	1,75	2,0	2,25	2,5	2,75	3,0
0,60	1,900	*	7.07	4.52	3.14	2.31	1.77	1.40	1.13	0.93	0.79
		$L/200$	7.07	4.52	3.14	2.31	1.77	1.40	1.12	0.84	0.65
		$L/250$	7.07	4.52	3.14	2.31	1.75	1.23	0.90	0.67	0.52
		$L/300$	7.07	4.52	3.14	2.18	1.46	1.03	0.75	0.56	0.43
0,70	2,216	*	8.90	5.69	3.95	2.91	2.22	1.76	1.42	1.18	0.99
		$L/200$	8.90	5.69	3.95	2.91	2.22	1.76	1.39	1.04	0.80
		$L/250$	8.90	5.69	3.95	2.91	2.17	1.52	1.11	0.83	0.64
		$L/300$	8.90	5.69	3.95	2.70	1.81	1.27	0.93	0.70	0.54
0,80	2,531	*	10.81	6.92	4.80	3.53	2.70	2.14	1.73	1.43	1.20
		$L/200$	10.81	6.92	4.80	3.53	2.70	2.14	1.66	1.25	0.96
		$L/250$	10.81	6.92	4.80	3.53	2.60	1.83	1.33	1.00	0.77
		$L/300$	10.81	6.92	4.80	3.23	2.17	1.52	1.11	0.83	0.64
0,90	2,846	*	12.81	8.20	5.69	4.18	3.20	2.53	2.05	1.69	1.42
		$L/200$	12.81	8.20	5.69	4.18	3.20	2.53	1.94	1.46	1.12
		$L/250$	12.81	8.20	5.69	4.18	3.03	2.13	1.55	1.17	0.90
		$L/300$	12.81	8.20	5.69	3.77	2.53	1.78	1.29	0.97	0.75
1,00	3,161	*	14.88	9.53	6.62	4.86	3.72	2.94	2.38	1.97	1.65
		$L/200$	14.88	9.53	6.62	4.86	3.72	2.94	2.22	1.67	1.28
		$L/250$	14.88	9.53	6.62	4.86	3.47	2.44	1.78	1.33	1.03
		$L/300$	14.88	9.53	6.62	4.31	2.89	2.03	1.48	1.11	0.86

¹⁾ Medzné zaťaženie z hľadiska pevnosti je stanovené ako **návrhová** hodnota

²⁾ Medzné zaťaženie z hľadiska priehybu je stanovené ako **charakteristická** hodnota

TABUĽKY STATICKÝCH HODNÔT



TRAPEZ ALT- 50 A

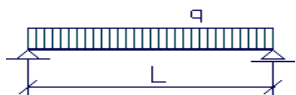
Hliník 3105 H46; $f_0 = 160 \text{ MPa}$

t [mm]	g [kg/m ²]	Kritérium pre * pevnosť max δ	Medzné zaťaženie q [kN/m ²] pre rozpätie L [m] ^{1), 2)}								
			1,0	1,25	1,5	1,75	2,0	2,25	2,5	3,0	
0,60	1,900	*	8.45	5.41	3.76	2.76	2.11	1.67	1.35	1.12	0.94
		$L/200$	8.45	5.41	3.76	2.60	1.74	1.22	0.89	0.67	0.52
		$L/250$	8.45	5.41	3.30	2.08	1.39	0.98	0.71	0.54	0.41
		$L/300$	8.45	4.75	2.75	1.73	1.16	0.82	0.59	0.45	0.34
0,70	2,216	*	10.64	6.81	4.73	3.47	2.66	2.10	1.70	1.41	1.18
		$L/200$	10.64	6.81	4.73	3.22	2.15	1.51	1.10	0.83	0.64
		$L/250$	10.64	6.81	4.09	2.57	1.72	1.21	0.88	0.66	0.51
		$L/300$	10.64	5.88	3.40	2.14	1.44	1.01	0.74	0.55	0.43
0,80	2,531	*	12.93	8.27	5.74	4.22	3.23	2.55	2.07	1.71	1.44
		$L/200$	12.93	8.27	5.74	3.85	2.58	1.81	1.32	0.99	0.76
		$L/250$	12.93	8.27	4.89	3.08	2.06	1.45	1.06	0.79	0.61
		$L/300$	12.93	7.04	4.08	2.57	1.72	1.21	0.88	0.66	0.51
0,90	2,846	*	15.31	9.80	6.81	5.00	3.83	3.03	2.45	2.03	1.70
		$L/200$	15.31	9.80	6.81	4.49	3.01	2.11	1.54	1.16	0.89
		$L/250$	15.31	9.80	5.71	3.60	2.41	1.69	1.23	0.93	0.71
		$L/300$	15.31	8.22	4.76	3.00	2.01	1.41	1.03	0.77	0.59
1,00	3,161	*	17.80	11.39	7.91	5.81	4.45	3.52	2.85	2.35	1.98
		$L/200$	17.80	11.39	7.91	5.14	3.44	2.42	1.76	1.32	1.02
		$L/250$	17.80	11.28	6.53	4.11	2.75	1.93	1.41	1.06	0.82
		$L/300$	17.80	9.40	5.44	3.43	2.30	1.61	1.18	0.88	0.68

¹⁾ Medzné zaťaženie z hľadiska pevnosti je stanovené ako **návrhová** hodnota

²⁾ Medzné zaťaženie z hľadiska priehybu je stanovené ako **charakteristická** hodnota

5.2 TRAPEZ ALT-50 B



TRAPEZ ALT- 50 B

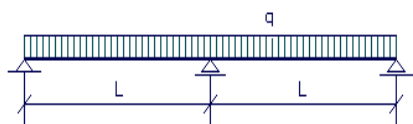
Hliník 3105 H46; $f_0 = 160 \text{ MPa}$

t [mm]	g [kg/m ²]	Kritérium pre * pevnosť max δ	Medzné zaťaženie q [kN/m ²] pre rozpätie L [m] ^{1), 2)}								
			1,0	1,25	1,5	1,75	2,0	2,25	2,5	2,75	3,0
0,60	1,900	*	7.07	4.52	3.14	2.31	1.77	1.40	1.13	0.93	0.79
		$L/200$	6.55	3.35	1.94	1.22	0.82	0.57	0.42	0.31	0.24
		$L/250$	5.24	2.68	1.55	0.98	0.65	0.46	0.34	0.25	0.19
		$L/300$	4.36	2.23	1.29	0.81	0.55	0.38	0.28	0.21	0.16
0,70	2,216	*	8.90	5.69	3.95	2.91	2.22	1.76	1.42	1.18	0.99
		$L/200$	8.00	4.10	2.37	1.49	1.00	0.70	0.51	0.38	0.30
		$L/250$	6.40	3.28	1.90	1.19	0.80	0.56	0.41	0.31	0.24
		$L/300$	5.34	2.73	1.58	1.00	0.67	0.47	0.34	0.26	0.20
0,80	2,531	*	10.81	6.92	4.80	3.53	2.70	2.14	1.73	1.43	1.20
		$L/200$	9.49	4.86	2.81	1.77	1.19	0.83	0.61	0.46	0.35
		$L/250$	7.59	3.89	2.25	1.42	0.95	0.67	0.49	0.36	0.28
		$L/300$	6.32	3.24	1.87	1.18	0.79	0.56	0.40	0.30	0.23
0,90	2,846	*	12.81	8.20	5.69	4.18	3.20	2.53	2.05	1.69	1.42
		$L/200$	11.00	5.63	3.26	2.05	1.37	0.97	0.70	0.53	0.41
		$L/250$	8.80	4.50	2.61	1.64	1.10	0.77	0.56	0.42	0.33
		$L/300$	7.33	3.75	2.17	1.37	0.92	0.64	0.47	0.35	0.27
1,00	3,161	*	14.88	9.53	6.62	4.86	3.72	2.94	2.38	1.97	1.65
		$L/200$	12.53	6.42	3.71	2.34	1.57	1.10	0.80	0.60	0.46
		$L/250$	10.02	5.13	2.97	1.87	1.25	0.88	0.64	0.48	0.37
		$L/300$	8.35	4.28	2.48	1.56	1.04	0.73	0.53	0.40	0.31

¹⁾ Medzné zaťaženie z hľadiska pevnosti je stanovené ako **návrhová** hodnota

²⁾ Medzné zaťaženie z hľadiska priehybu je stanovené ako **charakteristická** hodnota

TABUĽKY STATICKÝCH HODNÔT



TRAPEZ ALT- 50 B

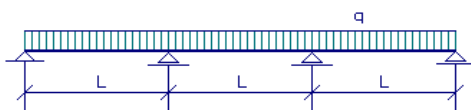
Hliník 3105 H46; $f_0 = 160 \text{ MPa}$

t [mm]	g [kg/m ²]	Kritérium pre * pevnosť max δ	Medzné zaťaženie q [kN/m ²] pre rozpätie L [m] ^{1), 2)}								
			1,0	1,25	1,5	1,75	2,0	2,25	2,5	2,75	3,0
0,60	1,900	*	5.95	3.81	2.64	1.94	1.49	1.18	0.95	0.79	0.66
		$L/200$	5.95	3.81	2.64	1.94	1.49	1.18	0.95	0.76	0.58
		$L/250$	5.95	3.81	2.64	1.94	1.49	1.11	0.81	0.61	0.47
		$L/300$	5.95	3.81	2.64	1.94	1.32	0.92	0.67	0.51	0.39
0,70	2,216	*	7.50	4.80	3.33	2.45	1.88	1.48	1.20	0.99	0.83
		$L/200$	7.50	4.80	3.33	2.45	1.88	1.48	1.20	0.93	0.71
		$L/250$	7.50	4.80	3.33	2.45	1.88	1.36	0.99	0.74	0.57
		$L/300$	7.50	4.80	3.33	2.40	1.61	1.13	0.82	0.62	0.48
0,80	2,531	*	9.13	5.84	4.06	2.98	2.28	1.80	1.46	1.21	1.01
		$L/200$	9.13	5.84	4.06	2.98	2.28	1.80	1.46	1.10	0.85
		$L/250$	9.13	5.84	4.06	2.98	2.28	1.61	1.17	0.88	0.68
		$L/300$	9.13	5.84	4.06	2.85	1.91	1.34	0.98	0.73	0.56
0,90	2,846	*	10.79	6.91	4.80	3.52	2.70	2.13	1.73	1.43	1.20
		$L/200$	10.79	6.91	4.80	3.52	2.70	2.13	1.70	1.27	0.98
		$L/250$	10.79	6.91	4.80	3.52	2.65	1.86	1.36	1.02	0.79
		$L/300$	10.79	6.91	4.80	3.30	2.21	1.55	1.13	0.85	0.65
1,00	3,161	*	12.47	7.98	5.54	4.07	3.12	2.46	2.00	1.65	1.39
		$L/200$	12.47	7.98	5.54	4.07	3.12	2.46	1.93	1.45	1.12
		$L/250$	12.47	7.98	5.54	4.07	3.02	2.12	1.55	1.16	0.90
		$L/300$	12.47	7.98	5.54	3.76	2.52	1.77	1.29	0.97	0.75

¹⁾ Medzné zaťaženie z hľadiska pevnosti je stanovené ako **návrhová** hodnota

²⁾ Medzné zaťaženie z hľadiska priehybu je stanovené ako **charakteristická** hodnota

TABUĽKY STATICKÝCH HODNÔT



TRAPEZ ALT- 50 B

Hliník 3105 H46; $f_0 = 160 \text{ MPa}$

t [mm]	g [kg/m ²]	Kritérium pre * pevnosť max δ	Medzné zaťaženie q [kN/m ²] pre rozpätie L [m] ^{1), 2)}								
			1,0	1,25	1,5	1,75	2,0	2,25	2,5	3,0	
0,60	1,900	*	7.11	4.55	3.16	2.32	1.78	1.40	1.14	0.94	0.79
		$L/200$	7.11	4.55	3.16	2.32	1.57	1.10	0.80	0.60	0.46
		$L/250$	7.11	4.55	2.97	1.87	1.25	0.88	0.64	0.48	0.37
		$L/300$	7.11	4.28	2.48	1.56	1.04	0.73	0.53	0.40	0.31
0,70	2,216	*	8.97	5.74	3.99	2.93	2.24	1.77	1.44	1.19	1.00
		$L/200$	8.97	5.74	3.99	2.86	1.92	1.35	0.98	0.74	0.57
		$L/250$	8.97	5.74	3.63	2.29	1.53	1.08	0.78	0.59	0.45
		$L/300$	8.97	5.23	3.03	1.91	1.28	0.90	0.65	0.49	0.38
0,80	2,531	*	10.91	6.98	4.85	3.56	2.73	2.16	1.75	1.44	1.21
		$L/200$	10.91	6.98	4.85	3.39	2.27	1.59	1.16	0.87	0.67
		$L/250$	10.91	6.98	4.31	2.71	1.82	1.28	0.93	0.70	0.54
		$L/300$	10.91	6.20	3.59	2.26	1.51	1.06	0.77	0.58	0.45
0,90	2,846	*	12.90	8.26	5.73	4.21	3.23	2.55	2.06	1.71	1.43
		$L/200$	12.90	8.26	5.73	3.93	2.63	1.85	1.35	1.01	0.78
		$L/250$	12.90	8.26	4.99	3.14	2.11	1.48	1.08	0.81	0.62
		$L/300$	12.90	7.19	4.16	2.62	1.75	1.23	0.90	0.67	0.52
1,00	3,161	*	14.91	9.54	6.63	4.87	3.73	2.95	2.39	1.97	1.66
		$L/200$	14.91	9.54	6.63	4.48	3.00	2.11	1.54	1.15	0.89
		$L/250$	14.91	9.54	5.69	3.58	2.40	1.69	1.23	0.92	0.71
		$L/300$	14.91	8.19	4.74	2.98	2.00	1.40	1.02	0.77	0.59

¹⁾ Medzné zaťaženie z hľadiska pevnosti je stanovené ako **návrhová** hodnota

²⁾ Medzné zaťaženie z hľadiska priehybu je stanovené ako **charakteristická** hodnota

TABUĽKY STATICKÝCH HODNÔT

NORMY, LITERATÚRA:

- [1] STN EN 1991-1-1 Eurokód 1: Zaťaženia konštrukcií, Časť 1-1: Všeobecné zaťaženia. Objemová tiaž, vlastná tiaž a úžitkové zaťaženia budov.
- [2] STN EN 1991-1-3 Eurokód 1: Zaťaženia konštrukcií, Časť 1-3: Všeobecné zaťaženia. Zaťaženia snehom.
- [3] STN EN 1991-1-4 Eurokód 1: Zaťaženia konštrukcií, Časť 1-4: Všeobecné zaťaženia. Zaťaženia vetrom.
- [4] STN EN 1999-1-4 Eurokód 9: Navrhovanie hliníkových konštrukcií. Časť 1-4: Všeobecné pravidlá a pravidlá. Plošné profily tvarované za studena.
- [5] KYSEL, J. a kol. : Statické tabuľky 2010. Spolok statikov Slovenska. Trnava 2010.
- [6] Kolektív autorov : Příručka o hliníku. SNTL Praha 1969.
- [7] BURAY, Z. a kol. : Stavebné konštrukcie z hliníka. SNTL Bratislava 1963.
- [8] ARTEMIEVA, I.N.: Aljuminij v strojiteľstve. Strojizdat Leningrad 1985.

PROGRAMY:

- [1] HUDÁK, J. - HUDÁK, I.: NOSNÍK - Statické riešenie spojitých nosníkov
- [2] HUDÁK, J. - HUDÁK, I.: PRIEREZY - Výpočet prierezových charakteristík tenkostenných prierezov